

FOLIEN VON D. GRAU ZUR
VORLESUNG "ELEKTRODYNAMIK
UND RELATIVITÄTSTHEORIE"
nach dem Skriptum von H. Nowotny

Kapitel 7

VI. 4. Multipolstrahlung

(Sphärische Multipolentwicklung)

NICHT VORGETRAGEN

NICHT PRÜFUNGSSTOFF

VI-49

VII-1

SPEZIELLE RELATIVITÄTSTHEORIE

VII. RELATIVISTISCHE KINEMATIK

VII.1. Grundlagen

VII.1. A. Grundlegende Experimente

Situation Ende des 19. Jhdts:

Äther: "Medium" für die Ausbreitung elm. Felder

- erfüllt den ganzen Raum, d.h. ist "überall"
- verhält sich als "Trägermedium" elm. Wellen
- wie ein elastischer Festkörper (Transversalwellen!)
- setzt langsam bewegten Materieobjekten keinen merklichen Widerstand entgegen (Himmelsmechanik!)

Nähere Details: M. Born

Die Relativitätstheorie
Einsteins

Gesetze der Mechanik (NEWTON):

- in allen Inertialsystemen gleich
(Relativitätsprinzip)
- forminvariant bei Galilei-Transformationen
(GT)

$$\vec{r}' = \vec{r} - \vec{v}t$$

$$t' = t$$

Alternativen bzgl. Gesetzen der Elektrodynamik:

- 1) ∃ ausgezeichnetes Bezugssystem, das Äthersystem, in welchem die Grundgln. in der bekannten Form gelten (Grundgleichungen der Elektrodynamik korrekt)

- GT korrekt
- ⇒ Relativitätsprinzip gilt für Phänomene der Elektrodynamik nicht (da Grundgln. bei GT Form ändern), damit Bewegung gegen Äther durch elm. Versuche nachweisbar

MEHRHEITSMEINUNG

- 2) Relativitätsprinzip gilt auch für Phänomene der Elektrodynamik
• GT korrekt, Mechanik korrekt
⇒ Grundgln. der Elektrodynamik sind nicht korrekt
KAUM VORSTELLBAR ... (Experimente!)

MINDERHEIT =
VOTUM

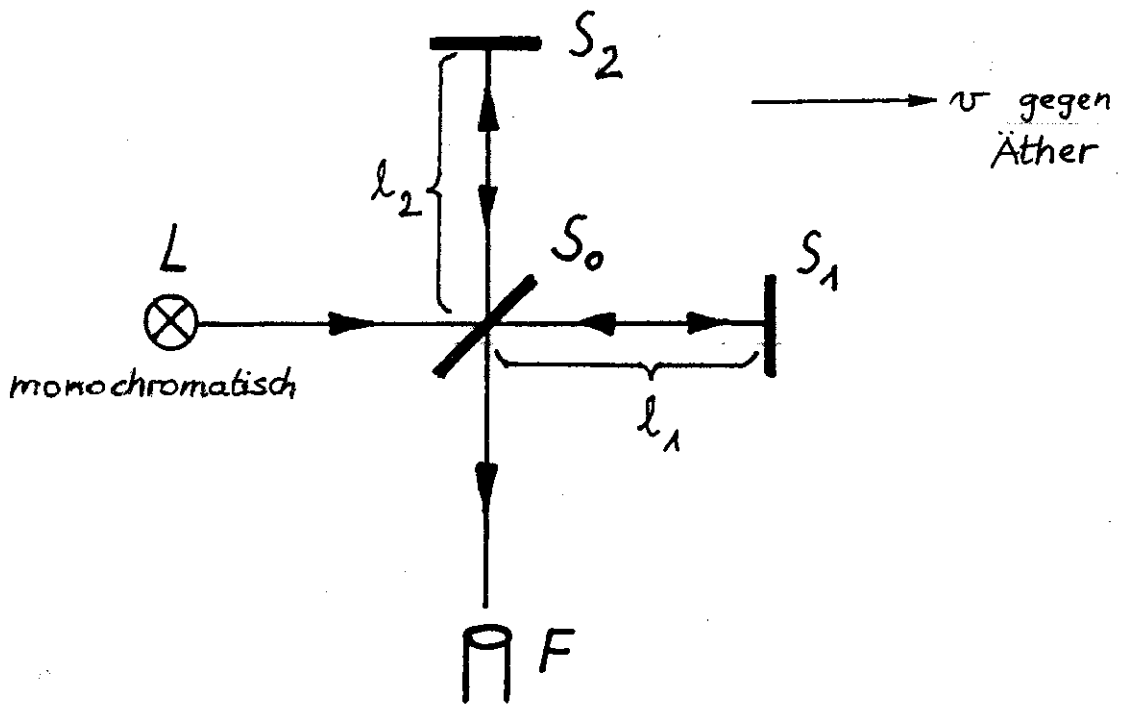
- 3) Relativitätsprinzip gilt auch für Phänomene der Elektrodynamik
• Grundgleichungen der Elektrodynamik sind korrekt
⇒ GT nicht korrekt, Grundgln. der Mechanik nicht korrekt

MINDERHEIT =
VOTUM
SIEGER

Entscheidung durch

EXPERIMENTE

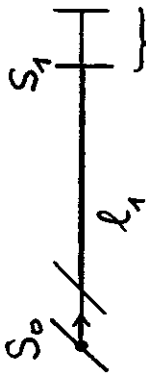
- | | | |
|------|-----------------------|--|
| 1887 | Michelson - Morley | "experimenta
Crucis" |
| 1725 | Aberration (Bradley) | |
| 1851 | Fizeausche Mitführung | |
| 1903 | Trouton - Noble | s. Panofsky,
Phillips |
| 1932 | Kennedy - Thorndike | Classical Electricity
and Magnetism |
| : | : | : |



Gesichtsfeld hell oder dunkel,
 im realen Experiment System heller
 und dunkler Ringe ("Interferenzstreifen"),
 da ankommende Strahlen nicht genau parallel
 und Wellenfronten nicht ganz eben

Athertheorie:
 Laufzeit des zu S_1 laufenden Teilstrahler
 für die Wege $S_0 \rightarrow S_1$ ("hin") und

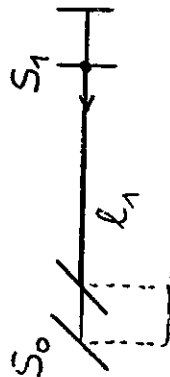
$S_1 \rightarrow S_0$ ("rück") $\rightarrow v$ gegen Äther



$$\Delta l_1^{hin} = v t_1^{hin}$$

$$t_1^{hin} = \frac{l_1 + \Delta l_1^{hin}}{c}$$

$$\Rightarrow t_1^{hin} = \frac{l_1}{c-v} \quad (\text{absolute Zeit!})$$



$$\Delta l_1^{rück} = v t_1^{rück}$$

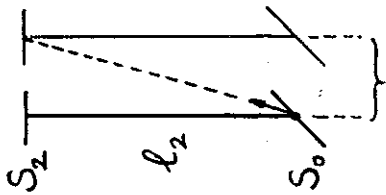
$$t_1^{rück} = \frac{l_1 - \Delta l_1^{rück}}{c}$$

$$\Rightarrow t_1^{rück} = \frac{l_1}{c+v}$$

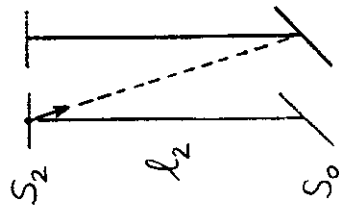
$$t_1 = t_1^{hin} + t_1^{rück} = \frac{2l_1}{c} \frac{1}{1-\frac{v^2}{c^2}} \quad (2)$$

Laufzeit des zu S_2 laufenden Teilstrahles für die Wege $S_0 \rightarrow S_2$ ("hin") und $S_2 \rightarrow S_0$ ("rück")

$\longrightarrow v$ gegen Äther



$$\Delta l_2^{\text{hin}} = v t_2^{\text{hin}} \quad \Rightarrow \quad t_2^{\text{hin}} = \frac{l_2}{\sqrt{c^2 - v^2}}$$



$$t_2^{\text{rück}} = t_2^{\text{hin}}$$

$$t_2 = t_2^{\text{hin}} + t_2^{\text{rück}} = \frac{2l_2}{c} \frac{1}{\sqrt{1 - \frac{v^2}{c^2}}} \quad (3)$$

Laufzeitdifferenz

$$t_1 - t_2 = \frac{2l_1}{c} \frac{1}{1 - \frac{v^2}{c^2}} - \frac{2l_2}{c} \frac{1}{\sqrt{1 - \frac{v^2}{c^2}}}$$

Bei um 90° gedrehter Apparatur ($l_1 \leftrightarrow l_2$):

andere Laufzeitdifferenz

$$\bar{t}_1 - \bar{t}_2 = \frac{2l_1}{c} \frac{1}{\sqrt{1 - \frac{v^2}{c^2}}} - \frac{2l_2}{c} \frac{1}{1 - \frac{v^2}{c^2}}$$

1887: Michelson-Morley-Experiment: $l_1 = l_2 = l$

und langsame Drehung der Apparatur (dauert einige Minuten)

Anfangsstellung (Arm 1 in Richtung von \vec{v})

$$\Delta t_A = t_1 - t_2 = \frac{2l}{c} \left(\frac{1}{1 - \frac{v^2}{c^2}} - \frac{1}{\sqrt{1 - \frac{v^2}{c^2}}} \right)$$

Endstellung (Arm 2 in Richtung von \vec{v})

$$\Delta t_E = \bar{t}_1 - \bar{t}_2 = -\Delta t_A$$

\Rightarrow Während der Drehung langsame Verschiebung um $n = \frac{c(\Delta t_A - \Delta t_E)}{\lambda}$ "Interferenzstreifen"

$$n = \frac{4l}{\lambda} \left(\frac{1}{1 - \frac{v^2}{c^2}} - \frac{1}{\sqrt{1 - \frac{v^2}{c^2}}} \right) \approx \frac{2l}{\lambda} \frac{v^2}{c^2}$$

müßte eintreten, aber:

"Interferenzstreifen" verschoben sich nicht!

"negativer Ausgang" des

Michelson-Morley-Experimentes

Erklärungsversuche

1) $v = 0$ zum "Versuchszeitpunkt"

Wiederholung des Versuches nach einem halben Jahr fällt abermals negativ aus.

2) Erde "nimmt" Äther in ihrer Umgebung vollständig mit"

WIDERSPRUCH zu Aberrationsversuchen

Längenkontraktionshypothese (ad-hoc Annahme)

s. Skriptum VII.1.B.

⇒ Äther bei Michelson-Morley-Experiment nicht beobachtbar:

$$\begin{aligned} t_1 - t_2 &= \frac{2l_{10} \sqrt{1 - \frac{v^2}{c^2}}}{c} - \frac{1}{1 - \frac{v^2}{c^2}} - \frac{2l_{20}}{c} \frac{1}{\sqrt{1 - \frac{v^2}{c^2}}} \\ &= \frac{2(l_{10} - l_{20})}{c} \frac{1}{\sqrt{1 - \frac{v^2}{c^2}}} = t_1 - t_2 \end{aligned}$$

⇒ keine Verschiebung der "Interferenzstreifen" bei Drehung um 90° (gleichgültig, ob $l_{10} = l_{20}$ oder nicht)

ABER: 1932 Kennedy-Thorndike-Experiment

$l_{10} \neq l_{20}$ (ungefähr 16 cm Unterschied),

Apparat im Labor fixiert, aber

Beobachtung durch mehrere Monate:

"Streifenverschiebung" müßte sich

durch Änderung von v ergeben

"negativer Ausgang", keinerlei

Verschiebung der "Interferenzstreifen"

4) 1905 Einstein:

- ES gibt keinen Äther.
- Das Relativitätsprinzip gilt auch für elm. Phänomene.
- Die Maxwelltheorie ist korrekt,

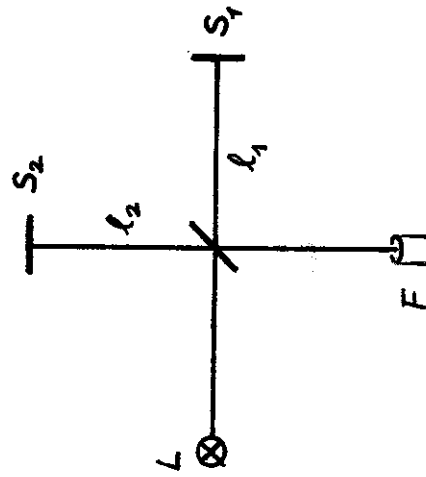
Newton'sche Mechanik und GT sind nicht korrekt.

Daraus folgt u.a.:

Elm. Wellen breiten sich im Vakuum unabhängig vom Bewegungszustand ihrer Quelle in jedem Inertialsystem mit der Geschwindigkeit c aus.

DAS IST DER "TOD" DER KONZEPTE DES ABSOLUTEN RAUMES UND DER ABSOLUTEN ZEIT!

Michelson-Morley oder Kennedy-Thorndike Experiment im Ruhsystem der Apparatur (in guter Näherung ein Inertialsystem) betrachtet:



$$t_1 - t_2 = \frac{2(l_1 - l_2)}{c}$$

t_1, t_2, l_1, l_2 gemessen im Ruhsystem der Apparatur

Formel gilt für jede Orientierung der Apparatur

Zur Lorentz'schen ad-hoc Zeitdilationsannahme

s. Skriptum VII.1.B.

Beachte: Die Lorentz'schen ad-hoc Annahmen sind von den experimentell überprüfbareren (!) kinematischen Effekten der SRT, welche man als Längenkontraktion (Lorentzkontraktion) und Zeitdilatation bezeichnet, zu unterscheiden.

VII.1.C. Postulate der SRT

P1: Relativitätsprinzip

Beliebige physikalische Vorgänge laufen bei gleichen Bedingungen in beliebigen Inertialsystemen gleich ab.

Naturgesetze müssen sich daher so formulieren lassen, daß sie bei einem Wechsel des inertialen Bezugssystems ihre Form nicht ändern (Forminvarianz, Kovarianz).

P2: "Konstanz der Lichtgeschwindigkeit"

Elektromagnetische Wellen breiten sich unabhängig vom Bewegungszustand ihrer Quelle in allen Inertialsystemen mit der Geschwindigkeit c aus.

Bemerkung: Auf Grund von P1 kommt

c die universelle Bedeutung einer Signalgeschwindigkeit beliebiger physikalischer Wirkungen zu.

Homogenität und Isotropie des Raumes und Homogenität der Zeit in bezug auf ein Inertialsystem stellen kein von P1, P2 unabhängiges Postulat dar, sie sind schon in der Definition des Begriffes Inertialsystem enthalten.

VII-13

VII.1. D. Lorentztransformationen der Zeit - Orts - Koordinaten von Ereignissen

Ereignis E: Inertialsystem S: t, x, y, z

Inertialsystem S': t', x', y', z'

Gesucht: Transformationsgl.

$$t' = t'(t, x, y, z)$$

$$x' = x'(t, x, y, z)$$

$$y' = y'(t, x, y, z)$$

$$z' = z'(t, x, y, z)$$

1) Raum bzgl. S und S' homogen und isotrop,

Zeit bzgl. S und S' homogen \Rightarrow

Transformation muß linear sein

(gerade gleichförmig durchlaufene

Teilchenbahnen müssen in gerade

gleichförmig durchlaufene Teilchenbahnen

transformieren)

2) Transformation linear \Rightarrow Ebenen von S
transformieren in Ebenen von S'

Satz: raumfeste Ebenen bzgl. S mit

Normalenvektoren $\vec{n} \perp \vec{v}$,

\vec{v} Geschwindigkeit von S' gegen S,

transformieren in raumfeste

Ebenen bzgl. S'

Beweis:

$$S: n_1 x + n_2 y + n_3 z + p = 0$$

$$S' \rightarrow S: x = a_1 x' + b_1 y' + c_1 z' + d_1 t' + e_1$$

$$y = a_2 x' + b_2 y' + c_2 z' + d_2 t' + e_2$$

$$z = a_3 x' + b_3 y' + c_3 z' + d_3 t' + e_3$$

$$S': (n_1 a_1 + n_2 a_2 + n_3 a_3) x'$$

$$+ (n_1 b_1 + n_2 b_2 + n_3 b_3) y'$$

$$+ (n_1 c_1 + n_2 c_2 + n_3 c_3) z'$$

$$+ (n_1 d_1 + n_2 d_2 + n_3 d_3) t'$$

$$+ (n_1 e_1 + n_2 e_2 + n_3 e_3) + p = 0$$

$$= 0 \Leftrightarrow \text{falls } \vec{n} := (n_1, n_2, n_3), \vec{d} := (d_1, d_2, d_3)$$

$\vec{n} \cdot \vec{d} = 0$ erfüllen; offensichtlich: $\vec{d} \parallel \vec{v}$

3) Wählt man Koordinatensprünge

und Zeitnullpunkte in S und S' so, daß

$$x = y = z = 0, t = 0 \text{ auf } x' = y' = z' = 0, t' = 0$$

abgebildet wird, so muß wegen P2 gelten:

$$S: x^2 + y^2 + z^2 = c^2 t^2, t > 0$$



$$S': x'^2 + y'^2 + z'^2 = c^2 t'^2, t' > 0$$

Bemerkung: Das ist der "Tod" der
absoluten (universellen) Zeit.

Definitionen:

$$S^2 := c^2 t^2 - x^2 - y^2 - z^2$$

$$S'^2 := c^2 t'^2 - x'^2 - y'^2 - z'^2$$

Satz: Folgt für eine lineare homogene

Transformation, daß $S^2 = 0$

$S'^2 = 0$ impliziert (und umgekehrt),

so folgt ^{t)}

$$S'^2 = S^2$$

^{t)} bei Verwendung gleicher Einheiten in S und S'

Beweis: Lineare homogene Transformation
gibt

$$\begin{aligned} S^2 &= \underline{c^2 t^2 - x^2 - y^2 - z^2} \\ &= \underline{A c^2 t^2 + B x^2 + C y^2 + D z^2} \\ &+ \underline{I c t x + J c t y + K c t z} \\ &+ \underline{L y z + M z x + N x y} \equiv \underline{P} \end{aligned}$$

a) Notwendige Bedingungen dafür, daß
P für jene reellen $ct > 0, x, y, z$
null ist, für die

$$S^2 = \underline{c^2 t^2 - x^2 - y^2 - z^2}$$

null ist:

$$\begin{aligned} (ct, x, y, z) &= (1, \pm 1, 0, 0) \\ \Rightarrow A + B \pm I &= 0, \quad \underline{A + B = 0} \\ &\quad \underline{I = 0} \end{aligned}$$

Analog:

$$\begin{aligned} (ct, x, y, z) &= (1, 0, \pm 1, 0) \\ \Rightarrow A + C &= 0 \\ (ct, x, y, z) &= (1, 0, 0, \pm 1) \\ \Rightarrow A + D &= 0 \\ &\quad \underline{K = 0} \end{aligned}$$

$$\begin{aligned} S^2 &= c^2 t^2 - x^2 - y^2 - z^2 \\ S^2 = P &= \underline{A c^2 t^2 + B x^2 + C y^2 + D z^2} \\ &\quad \underline{-A} \quad \underline{-A} \quad \underline{-A} \end{aligned}$$

$$\begin{aligned} &+ \underline{I c t x + J c t y + K c t z} \\ &\quad \underline{0} \quad \underline{0} \quad \underline{0} \quad \text{bereits gezeigt} \end{aligned}$$

$$\begin{aligned} &+ \underline{L y z + M z x + N x y} \\ &\quad \underline{0} \quad \underline{0} \quad \underline{0} \quad \text{s. unten} \end{aligned}$$

$$(ct, x, y, z) = (\sqrt{2}, 0, 1, 1)$$

$$\Rightarrow \underline{2A - A - A + L = 0}, \quad \underline{L = 0}$$

analog:

$$\underline{M = 0}$$

$$\underline{N = 0}$$

$$\Rightarrow S^2 = P = A S^2$$

$$\text{b) } S^2 = A(|\vec{v}|) S^2$$

Isotropie

"Reziprozität":

$$S^2 = A(|\vec{v}|) S^2$$

$$\Rightarrow S^2 = S^2 \quad \text{für homogene}$$

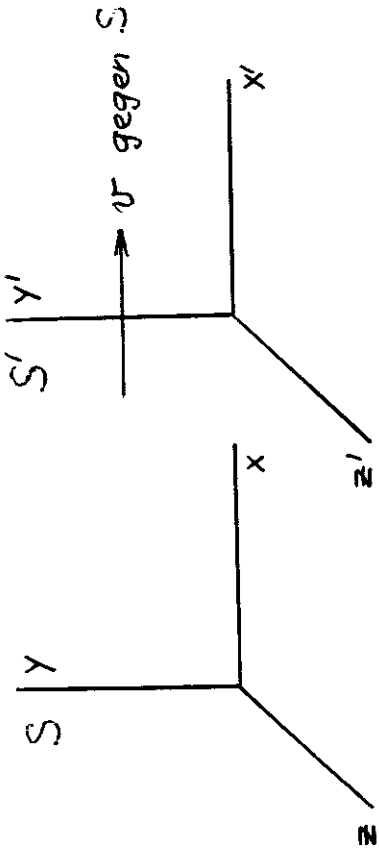
Transformationen

$$A^2(|\vec{v}|) = 1$$

$$\Rightarrow A(|\vec{v}|) = \pm 1$$

Grenzfall $|\vec{v}| \downarrow 0$

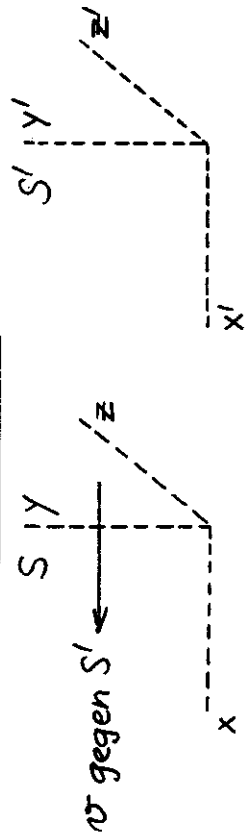
Standard-LT der Zeit-Orts-Koordinaten
 (homogene LT für achsenparallele Systeme,
 Relativbewegung in x-Richtung)



$(ct, x, y, z) = (0, 0, 0, 0) \iff (ct', x', y', z') = (0, 0, 0, 0)$

I.) Punkt 2): Ebene $y=0$ von S wird auf
Ebene $y'=0$ von S' abgebildet

$\implies \underline{y' = C(v)y}$



$\underline{y = C(v)y'}$, $\forall y$

$\implies C(v) = \frac{1}{C(v)}$, $\underline{y' = y}$ (4)

Analog: $z' = z$

II.) Ebene $x'=0$ von S' muß
Ebene $x=vt$ von S sein

$\implies \underline{x' = A(v)(x - vt)}$, $A(v) > 0$

Ferner: $\underline{t' = B(v)t - D(v)x}$, $B(v) > 0$

Punkt 3): $S'^2 = S^2$ für homogene LT

$$\begin{aligned} c^2 t'^2 - x'^2 &= c^2 (Bt - Dx)^2 - A^2 (x - vt)^2 \\ &= \underline{c^2 t^2 - x^2} \quad , \quad \forall t, x \end{aligned}$$

$\implies t^2 \dots \quad B^2 - \frac{v^2}{c^2} A^2 = 1$

$t x \dots \quad A^2 - \frac{c^2}{v} B D = 0$ mit $A > 0, B > 0$

$x^2 \dots \quad A^2 - c^2 D^2 = 1$

$\implies A(v) = B(v) = \frac{1}{\sqrt{1 - \frac{v^2}{c^2}}}$

$D(v) = \frac{v}{c^2} A(v)$ (5)

Standard-LT

VII-19

$$\begin{aligned}
 ct' &= \gamma(v) \left(ct - \frac{v}{c} x \right) \\
 x' &= \gamma(v) (x - vt) \\
 y' &= y \\
 z' &= z
 \end{aligned}$$

"Raum-Zeit"

mit

$$\gamma(v) = \frac{1}{\sqrt{1 - \frac{v^2}{c^2}}}$$

Bemerkung: Für $\frac{v}{c} \ll 1 \Rightarrow \gamma(v) \approx 1$

erhält man daraus näherungsweise die Standard-GT

$$\begin{aligned}
 t' &= t && \text{(universelle Zeit)} \\
 x' &= x - vt \\
 y' &= y \\
 z' &= z
 \end{aligned}$$

Matrixschreibweise der Standard-LT

VII-20

Mit $\beta = \frac{v}{c}$, $\beta = \beta(v) = \frac{v}{c}$ (6)

gilt

$$\begin{pmatrix} ct' \\ x' \\ y' \\ z' \end{pmatrix} = \underbrace{\begin{pmatrix} \gamma & -\beta\gamma & 0 & 0 \\ -\beta\gamma & \gamma & 0 & 0 \\ 0 & 0 & 1 & 0 \\ 0 & 0 & 0 & 1 \end{pmatrix}}_{{}^{st}\Lambda = {}^{st}\Lambda(v)} \begin{pmatrix} ct \\ x \\ y \\ z \end{pmatrix} \quad (7)$$

Transformationsmatrix der Standard-LT (8)

Es gilt: ${}^{st}\Lambda^{-1}(v) = {}^{st}\Lambda(-v)$ (9)
d.h.

$$\begin{pmatrix} ct \\ x \\ y \\ z \end{pmatrix} = \begin{pmatrix} \gamma & \beta\gamma & 0 & 0 \\ \beta\gamma & \gamma & 0 & 0 \\ 0 & 0 & 1 & 0 \\ 0 & 0 & 0 & 1 \end{pmatrix} \begin{pmatrix} ct' \\ x' \\ y' \\ z' \end{pmatrix} \quad (10)$$

"Reziprozität"

Allgemeine homogene LT ("eigentliche" [†])

VII-21

$\alpha_1, \alpha_2, \alpha_3$ Eulerwinkel

$$\mathcal{D}(\alpha_1, \alpha_2, \alpha_3) = (D_{ij}(\alpha_1, \alpha_2, \alpha_3)), \quad i, j = 1, 2, 3$$

dreidimensionale Drehmatrix
(orthogonale Transformation) ⁽¹¹⁾

$$\begin{pmatrix} 1 & 0 & 0 & 0 \\ 0 & \gamma & -\beta\gamma & 0 \\ 0 & -\beta\gamma & \gamma & 0 \\ 0 & \mathcal{D}(\alpha'_1, \alpha'_2, \alpha'_3) & 0 & 0 \end{pmatrix} \begin{pmatrix} 1 & 0 & 0 & 0 \\ 0 & 1 & 0 & 0 \\ 0 & 0 & 1 & 0 \\ 0 & 0 & 0 & 1 \end{pmatrix}$$

"Drehung" $\mathcal{D}\Lambda$

Standard-LT $st\Lambda$

"Drehung" $\mathcal{D}\Lambda$

Allgemeine LT ("eigentliche" [†])

Zusätzlich raum-zeitliche Translationen

[†] d.h. ohne Spiegelungen

Beachte:

1) $c^2 t'^2 - x'^2 - y'^2 - z'^2 = c^2 t^2 - x^2 - y^2 - z^2$

gilt bei beliebiger homogener LT,

nicht aber bei inhomogener LT

2) $c^2 dt'^2 - dx'^2 - dy'^2 - dz'^2 = c^2 dt^2 - dx^2 - dy^2 - dz^2$

gilt bei beliebiger LT (ebenso für endliche Differenzen $\Delta t, \Delta x, \Delta y, \Delta z$)

VII. 2. Vierertensoren

VII-22

VII. 2. A. Raum-Zeit (Minkowskiwelt)

Minkowski 1908

Vierdimensionaler Raum, dessen "Punkte"

durch die denkbaren Ereignisse E gegeben sind ("Weltpunkte").

Definiert man auf diesem Raum Tensoren und Tensorfelder, so stellen Beziehungen zwischen solchen "Vierertensoren" per constructionem gegenüber Bezugssystem = Wechsel forminvariante (kovariante) Aussagen dar.

Dem Relativitätsprinzip kann man daher dadurch Rechnung tragen, daß man Naturgesetze als Vierertensorgleichungen formuliert.

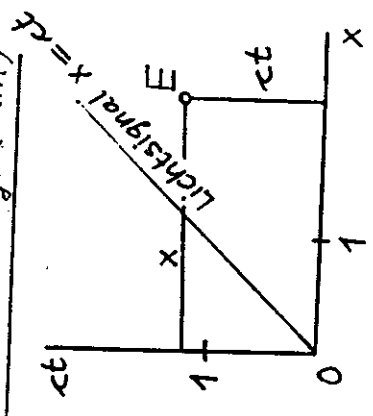
Geometrische Veranschaulichung

VII-23

der Standard-LT (Minkowski Diagramm)

1. Schritt: ct- und x-Achse
willkürlich senkrecht
gezeichnet (Konvention)

E: S: (ct, x)



Frage: Lage der ct'- und x'-Achse in diesem Diagramm?

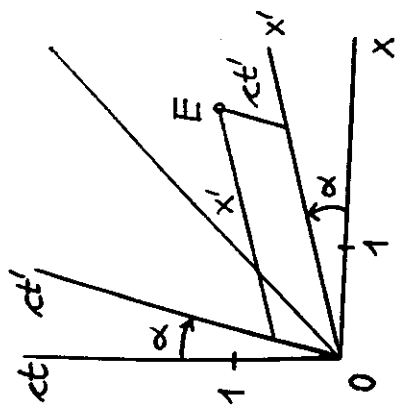
2. Schritt:

x'-Achse: ct' = 0

$ct' = \beta(ct - \beta x) = 0 \Rightarrow ct = \beta x$

ct'-Achse: x' = 0

$x' = \beta(x - ct) = 0 \Rightarrow ct = \frac{1}{\beta} x$



bzw. $x = \beta ct$

$\alpha = \arctan \beta < \frac{\pi}{4}$

da $\beta < 1$

E: S': (ct', x')

Frage: Einheiten auf der ct'- und x'-Achse?

3. Schritt: Eichkurven für Ort und Zeit

VII-24

$ct'^2 - x'^2 = c^2 t^2 - x^2$ für Standard-LT

Einheit auf der positiven x'-Achse: $x' = 1, ct' = 0$

\Rightarrow Schnitt des Hyperbelastes

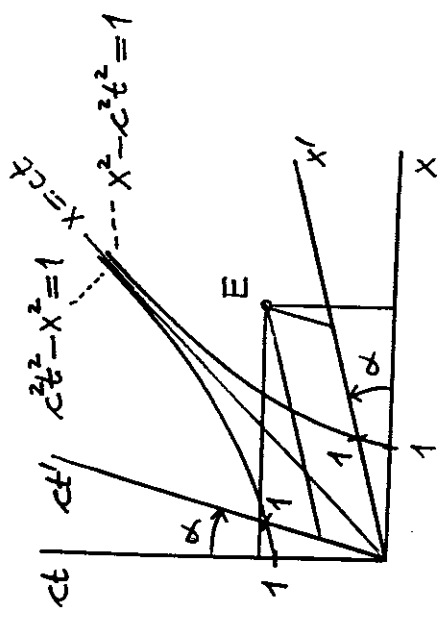
$x^2 - c^2 t^2 = 1, x > 0$ Eichkurve für Ort
mit der x'-Achse

Einheit auf der positiven ct'-Achse: $ct' = 1, x' = 0$

\Rightarrow Schnitt des Hyperbelastes

$ct'^2 - x'^2 = 1$, $ct > 0$ Eichkurve für
Zeit

mit der ct'-Achse



Invariante Bereiche der Raum-Zeit

VII-25

in bezug auf ein festes Ereignis, hier: O

Nur homogene LT betrachtet, somit

O: $S: (0, 0, 0, 0)$

$S': (0, 0, 0, 0)$

⋮

und

$$S^2 = ct^2 - x^2 - y^2 - z^2$$

$$= c^2t'^2 - x'^2 - y'^2 - z'^2$$

= ... = L-Invariante

Man sagt: Das Ereignis E: S: (ct, x, y, z)

$S': (ct', x', y', z')$

⋮

liegt bzgl. O

raumartig, falls $S^2 < 0$
 lichtartig, falls $S^2 = 0$
 zeitartig, falls $S^2 > 0$
 und zwar
 in der Zukunft, falls $ct > 0$
 ($\Rightarrow ct' > 0, \dots$)
 in der Vergangenheit, falls
 $ct < 0$ ($\Rightarrow ct' < 0, \dots$)

VII-26

Durch diese Klassifizierung zerfällt die Raum-Zeit bzgl. des festen Ereignisses (hier: O) in vier invariante Bereiche:

Bereiche:

3-dim.

1) den Lichtkegel (Hyperkegelfläche) $S^2 = 0$

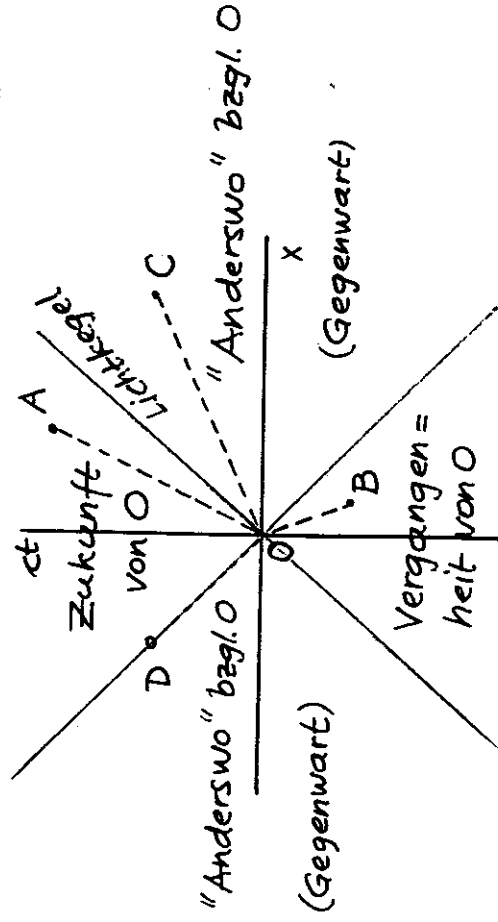
2) die Zukunft $S^2 > 0, ct > 0$

3) die Vergangenheit $S^2 > 0, ct < 0$

4) die Gegenwart (besser: das

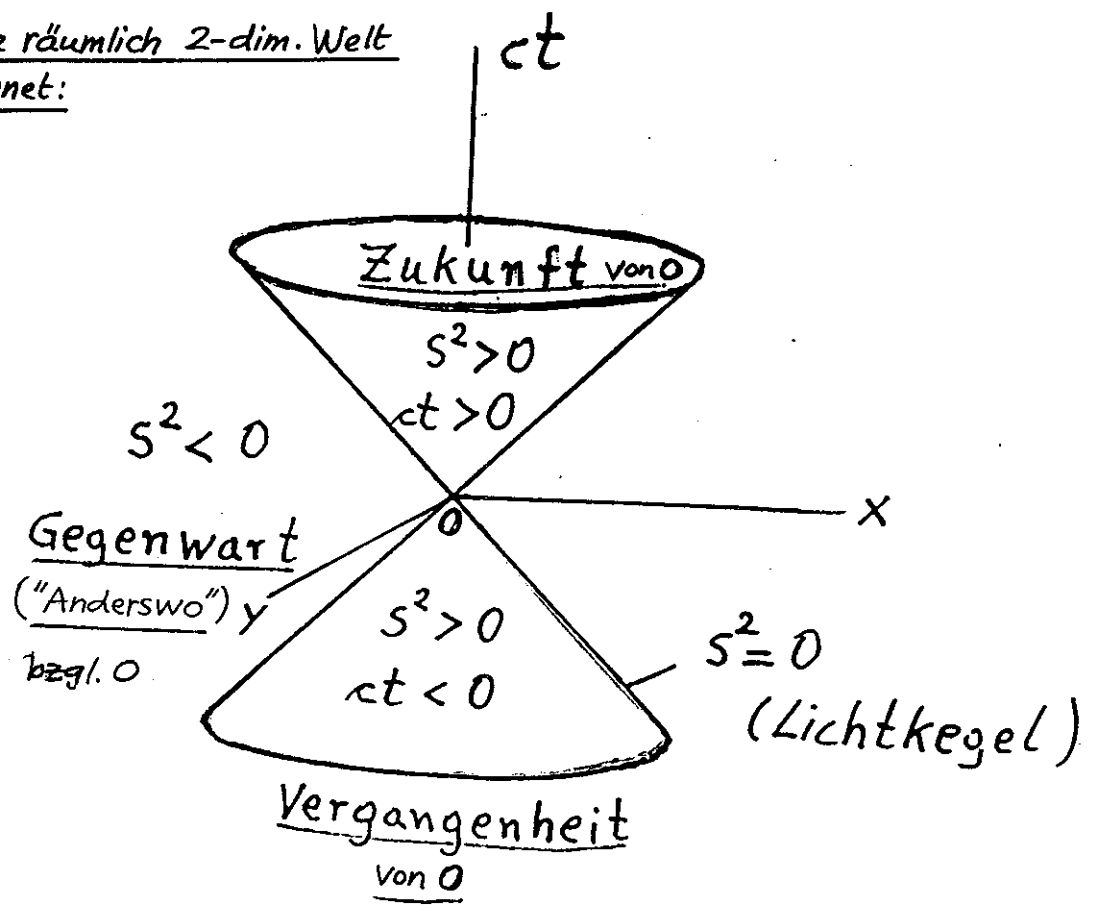
"Anderswo"^{†)} $S^2 < 0$

Für eine räumlich 1-dim. Welt gezeichnet:

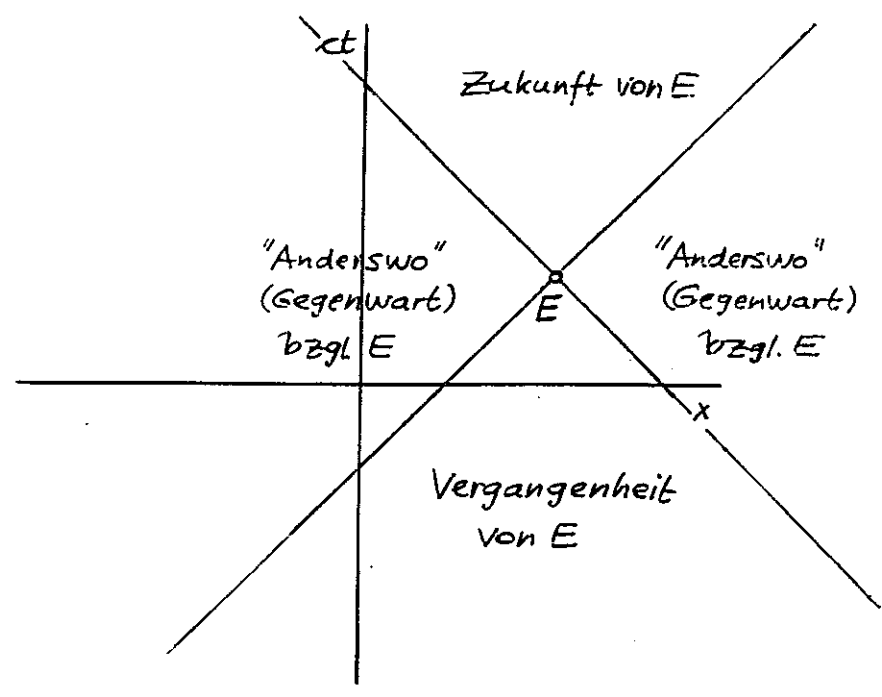


†) engl.: "elsewhere"

Für eine räumlich 2-dim. Welt
gezeichnet:



Invariante Bereiche der Raum-Zeit
bzgl. E



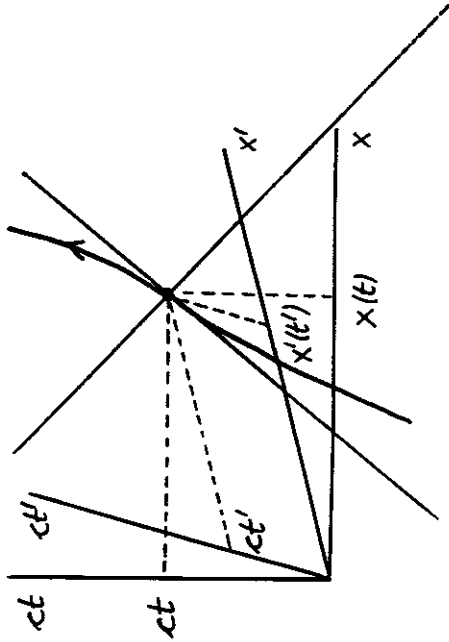
Weltlinie eines Teilchens

"Lebensgeschichte" eines Teilchens =

einparametrische Schar von Ereignissen

$E: S: (ct, x(t), y(t), z(t))$

$S': (ct', x'(t'), y'(t'), z'(t'))$



VIII. 2. B. Längenkontraktion, Zeitdilatation

Definition: Länge eines Stabes in einem

Inertialsystem = räumlicher Abstand

von Stabeanfang und Stabende -

und zwar einer bzgl. dieses

Inertialsystems gleichzeitigen Lage

von Stabeanfang und Stabende -

gemessen in diesem Inertialsystem.

"Maßstab" = Stab, welcher seine Länge im

Lauf der Zeit nicht merklich ändert

Längenkontraktion (Lorentzkontraktion) von

Maßstäben

Standard-LI für Ereignispaare E_1, E_2 ($\Delta X := x_2 - x_1$ usf.)

$ct\Delta t' = \gamma(v) (c\Delta t - \frac{v}{c} \Delta X)$

$\Delta X' = \gamma(v) (\Delta X - v\Delta t)$ (*)

bzw.

$c\Delta t = \gamma(v) (c\Delta t' + \frac{v}{c} \Delta X')$

$\Delta X = \gamma(v) (\Delta X' + v\Delta t')$ (*)

1) Maßstab ruht in S

$\Delta X = L_0$ Ruhlänge, Δt beliebig

(*) $L' = \Delta X' \Big|_{\Delta t'=0} = \frac{\Delta X}{\gamma(v)} = \frac{L_0}{\gamma(v)} < L_0$ (17)

2) Maßstab ruht in S'

$\Delta X' = L_0$ Ruhlänge, $\Delta t'$ beliebig

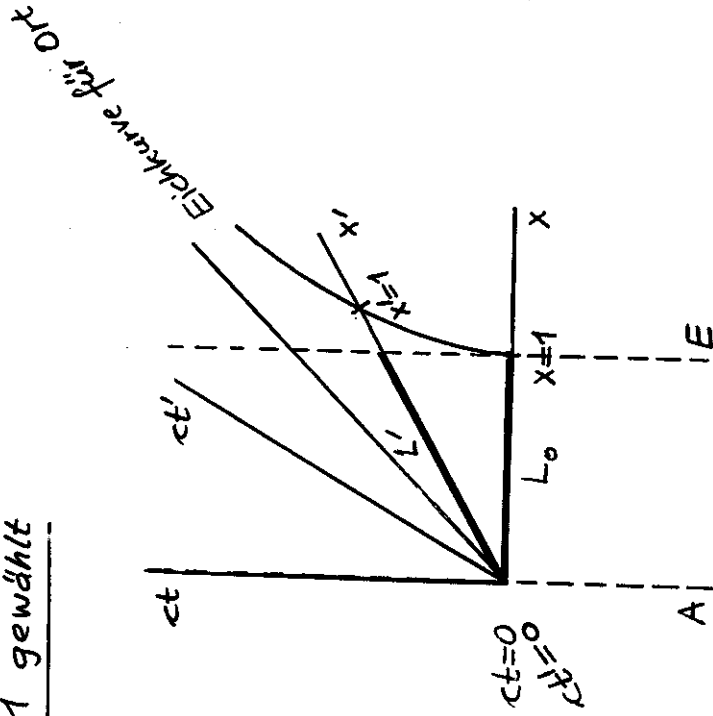
(*) $L = \Delta X \Big|_{\Delta t=0} = \frac{\Delta X'}{\gamma(v)} = \frac{L_0}{\gamma(v)} < L_0$

Bemerkung: Bei schlampiger Schreibweise in \uparrow scheinbarer Widerspruch!

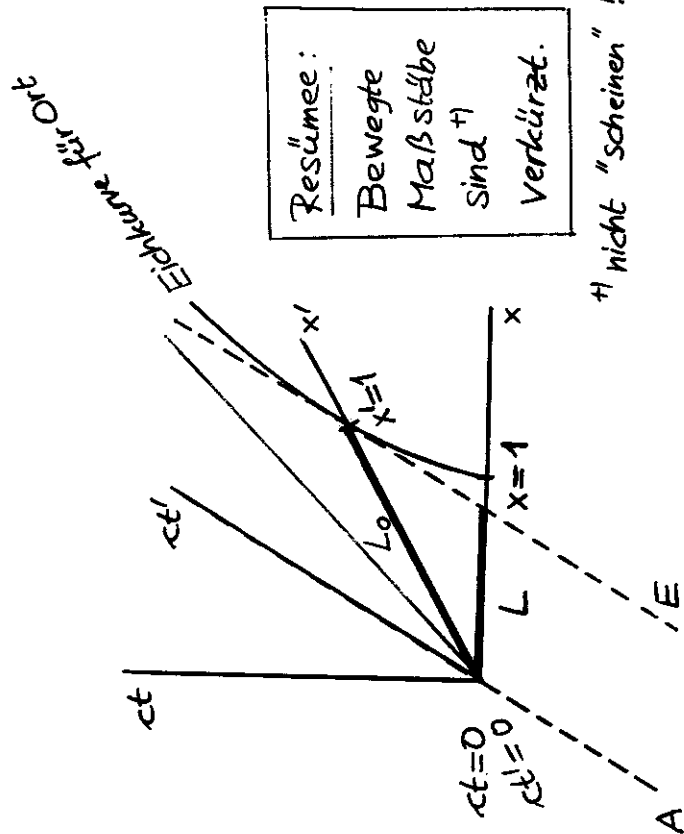
Minkowskidiagramme

$L_0 = 1$ gewählt

zu 1)



zu 2)



Zeitdilatation für unbeschleunigt bewegte Uhren

Standard-LI für Ereignispaare

$$c\Delta t' = \gamma(v) (c\Delta t - \frac{v}{c} \Delta x) \quad (*)$$

$$\Delta x' = \gamma(v) (\Delta x - v\Delta t)$$

bzw.

$$c\Delta t = \gamma(v) (c\Delta t' + \frac{v}{c} \Delta x') \quad (**)$$

$$\Delta x = \gamma(v) (\Delta x' + v\Delta t')$$

1) Uhr ruht in S

$\Delta t = \Delta \tau$ Eigenzeitintervall der Uhr

$$\Delta x = 0$$

Zeitintervall $\Delta T'$, um das die Uhren von S' vorrücken, während die in S ruhende (relativ zu S' mit der Geschwindigkeit v in negativer x' -Richtung bewegte) Uhr um $\Delta \tau$ vorrückt:

$$(*) \quad \Delta T' = \Delta t \Big|_{\Delta x=0} = \gamma(v) \Delta t = \gamma(v) \Delta \tau$$

$$\Delta \tau = \frac{\Delta T'}{\gamma(v)}$$

Beachte: $\Delta \tau$ wird aus zwei Ablesungen an derselben Uhr (der in

S ruhenden Uhr) bestimmt, $\Delta T'$ wird aber aus

Ableitungen an zwei verschiedenen Uhren

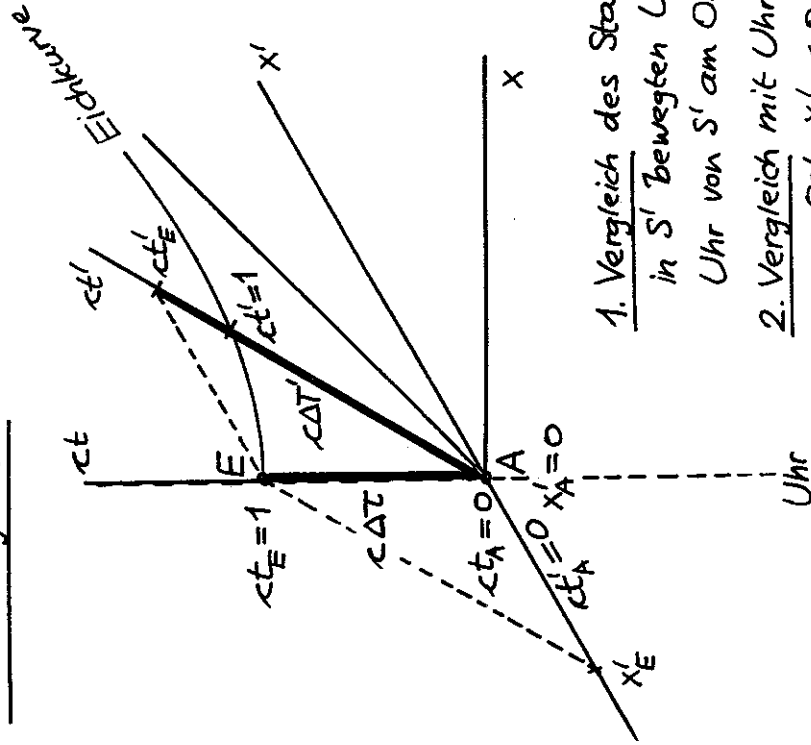
von S' bestimmt, welche allerdings untereinander synchronisiert sind.

Messung der Zeitdilatation durch Vergleich von nur zwei Uhren ist nur möglich, wenn mindestens eine von ihnen beschleunigt bewegt ist

(Trennung und Wiederzusammenkommen von Uhren; Zwillingsproblem s. Abschnitt VII.2.D).

Minkowskidiagramm

cΔT = 1 gewählt



1. Vergleich des Standes der in S' bewegten Uhr mit Uhr von S' am Ort x'_A = 0,
2. Vergleich mit Uhr von S' am Ort x'_E < 0

2) Uhr ruht in S'

$\Delta t' = \Delta \tau$ Eigenzeitintervall der Uhr

$\Delta x' = 0$

$c\Delta t = \gamma(v) (c\Delta t' + \frac{v}{c} \Delta x')$ (*)

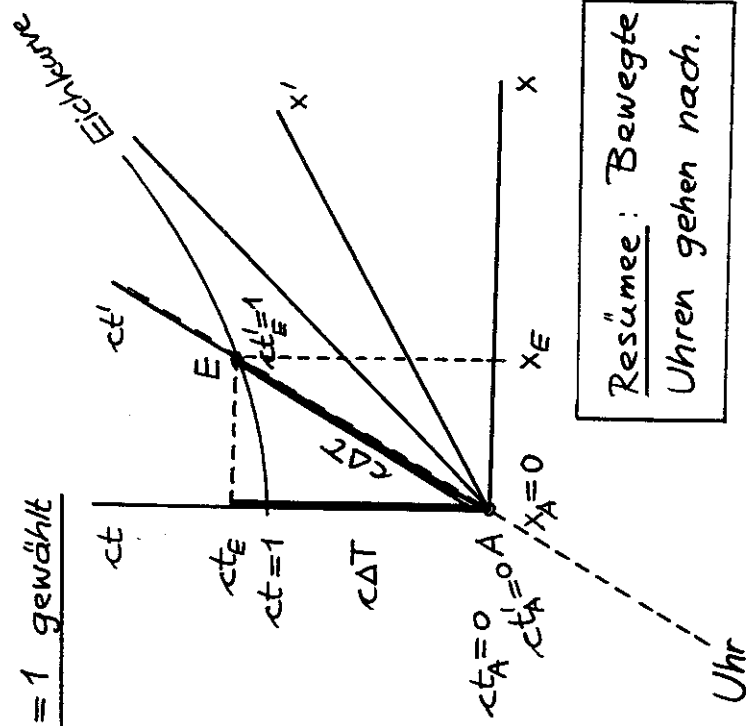
(*) $\Delta T = \Delta t \Big|_{\Delta x'=0} = \gamma(v) \Delta t' = \gamma(v) \Delta \tau$

$\Delta \tau = \frac{\Delta T}{\gamma(v)}$

(19)

Minkowskidiagramm

cΔT = 1 gewählt



Resümee: Bewegte Uhren gehen nach.

VII. 2. C. Vierertensoren. Metrik

Koordinaten im Minkowskiraum

= Zeit-Orts-Koordinaten der Ereignisse
 bzgl. S:

$$(X^\mu) = (x^0, x^1, x^2, x^3) = (ct, x, y, z)$$

(21b)

oder bzgl. S':

$$(x'^\mu) = (x'^0, x'^1, x'^2, x'^3) = (ct', x', y', z')$$

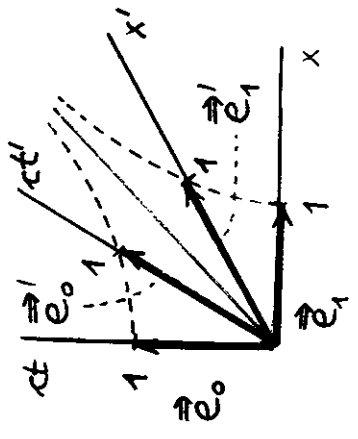
etc.

Kovariantes Basissystem bzgl. S bzw. S'

$$\{\vec{e}_0, \vec{e}_1, \vec{e}_2, \vec{e}_3\}, \vec{e}_\mu \text{ Verschiebung}$$

in Richtung der Koordinatenachse μ
 mit wachsendem x^μ um die Einheit

analog bei Verwendung der Koordinaten x'^μ



Beachte:
 Inneres Produkt
 von Vektoren noch
 nicht definiert!

Ortsvektor im Minkowskiraum

$$\left. \begin{array}{l} \underline{E}: S: (x^\mu) \\ S': (x'^\mu) \end{array} \right\} \text{allgemeine homogene LT:} \quad \boxed{x'^\mu = \Lambda^\mu_\alpha x^\alpha} \quad (32)$$

Bemerkung: Wir betrachten nur homogene LT.

In Matrixschreibweise:

$$\begin{bmatrix} x'^0 \\ x'^1 \\ x'^2 \\ x'^3 \end{bmatrix} = \begin{bmatrix} \Lambda^0_0 & \Lambda^0_1 & \Lambda^0_2 & \Lambda^0_3 \\ \Lambda^1_0 & \Lambda^1_1 & \cdot & \cdot \\ \cdot & \cdot & \cdot & \cdot \\ \cdot & \cdot & \cdot & \Lambda^3_3 \end{bmatrix} \begin{bmatrix} x^0 \\ x^1 \\ x^2 \\ x^3 \end{bmatrix}$$

$$\Lambda \equiv (\Lambda^\mu_\alpha) \quad \text{Transformationsmatrix (kein Tensor!)} \\ \text{1. Index = Zeilenindex}$$

z.B. Standard-LT

$${}^{st}\Lambda \equiv ({}^{st}\Lambda^\mu_\alpha) = \begin{bmatrix} \gamma & -\beta\gamma & 0 & 0 \\ -\beta\gamma & \gamma & 0 & 0 \\ 0 & 0 & 1 & 0 \\ 0 & 0 & 0 & 1 \end{bmatrix} \quad (33)$$

$$\vec{X} = x^\mu \vec{e}_\mu = x'^\mu \vec{e}'_\mu \quad (21a)$$

Bemerkung: Daraus folgt: $\vec{e}'_\mu = \Lambda^\alpha_\mu \vec{e}_\alpha$

Empfehlung: Schreibe zu den bisherigen und folgenden Beziehungen die jeweils analogen Beziehungen der kartesischen Tensorrechnung im 3dim. Euklidischen Raum an.

$$\begin{aligned} \text{Koo bzgl. } K: (x_i) &= (x_1, x_2, x_3) = (x, y, z) \\ \text{bzgl. } K': (x'_i) &= (x'_1, x'_2, x'_3) = (x', y', z') \end{aligned}$$

Koo-Transformation: Drehung

$$x'_i = \mathcal{D}_{ij} x_j$$

Basissysteme für K und K' :

$$K: \{\vec{e}_1, \vec{e}_2, \vec{e}_3\} = \{\vec{e}_x, \vec{e}_y, \vec{e}_z\}$$

K' : analog

$$\text{Ortsvektor: } \vec{r} = x_i \vec{e}_i = x'_i \vec{e}'_i$$

Vektor (Tensor 1. Stufe): \vec{r} Prototyp

$$\vec{a} = a_i \vec{e}_i \quad \text{Vektor, falls}$$

$$a'_i = \mathcal{D}_{ij} a_j$$

Fundamentale Invariante und metrische Fundamentalform:

$$l^2 = x^2 + y^2 + z^2 = x'^2 + y'^2 + z'^2 = \text{drehinvariant}$$

$$dl^2 = dx^2 + dy^2 + dz^2$$

l^2 als $\vec{r} \cdot \vec{r}$ interpretiert, inneres Produkt, Metriktenor usf.

Warum braucht man hierbei keine "oberen" und "unteren" Indices?

Vierervektoren (Vierertensoren 1. Stufe) \vec{X} Prototyp für Vierervektor

$\vec{a} = a^\mu \vec{e}_\mu$ stellt einen Vierervektor dar,
falls bei LT (Bezugssystemwechsel)

$$a'^\mu = \Lambda^\mu_\alpha a^\alpha \text{ gilt.}$$

Es gilt dann

$$\vec{a} = a'^\mu \vec{e}'_\mu = a'^\mu \vec{e}_\mu \quad (20)$$

(a'^μ) , (a'^μ) kontravariante Komponenten von \vec{a}
bzgl. S bzw. S'

Bemerkung 1: Analog Vierervektorfeld, falls
 $a^\mu (x^0, x^1, x^2, x^3)$, $a'^\mu (x'^0, x'^1, x'^2, x'^3)$.

Bemerkung 2: Zeit-Orts-Koordinaten (x^4)
daher kontravariante Komponenten von \vec{X}
bzgl. S. •

Inneres Produkt von Vierervektoren.Metrik im Minkowskiraum

$$\begin{aligned} S^2 &= c^2 t^2 - x^2 - y^2 - z^2 = (x^0)^2 - (x^1)^2 - (x^2)^2 - (x^3)^2 \\ &= (x'^0)^2 - (x'^1)^2 - (x'^2)^2 - (x'^3)^2 = L\text{-Inv.}, \end{aligned}$$

deshalb als $\vec{X} \cdot \vec{X}$ interpretiert

$$\begin{aligned} \vec{X} \cdot \vec{X} &= x^\mu x^\nu \underbrace{\vec{e}_\mu \cdot \vec{e}_\nu}_{=: g_{\mu\nu}} = x'^\mu x'^\nu \underbrace{\vec{e}'_\mu \cdot \vec{e}'_\nu}_{g'_{\mu\nu}} \end{aligned}$$

$$\begin{aligned} = S^2 &= (x^0)^2 - (x^1)^2 - (x^2)^2 - (x^3)^2 \\ &= (x'^0)^2 - (x'^1)^2 - (x'^2)^2 - (x'^3)^2 \end{aligned}$$

$$\Rightarrow (g_{\mu\nu}) = (g'_{\mu\nu}) = \text{diag}(1, -1, -1, -1) \quad (24)$$

$$g_{\mu\nu} = g'_{\mu\nu}$$

Metrikelemente

$d\vec{X}$ infinitesimaler
Verschiebungsvektor

(kovariante Komponenten des
Metrikensors; s. später)

$$\begin{aligned} d\vec{X} \cdot d\vec{X} &= ds^2 = g_{\mu\nu} dx'^\mu dx'^\nu \\ &= c^2 dt^2 - dx^2 - dy^2 - dz^2 \end{aligned}$$

metrische Fundamentalfarm des MinkowskiraumesMinkowskiraum = "pseudo-euklidischer" Raumkein echter metrischer Raum, da

1) ds^2 nicht ≥ 0

2) $ds^2 = 0$ auch für $d\vec{X} \neq \vec{0}$
möglich

$$\vec{e}^\alpha \cdot \vec{e}^\beta = g^{\alpha\mu} g^{\beta\nu} \underbrace{\vec{e}_\mu \cdot \vec{e}_\nu}_{\substack{g_{\mu\nu} \\ \delta_\mu^\nu}} = g^{\alpha\beta}$$

$$\vec{a} = a^\mu \vec{e}_\mu = a_\alpha \vec{e}^\alpha \quad (27)$$

(a_α) kovariante Komponenten von \vec{a} bzgl. S

mit $a_\alpha = g_{\alpha\mu} a^\mu, a^\mu = g^{\mu\alpha} a_\alpha \quad (30)$

Index "hinunterziehen" "hinaufziehen"

$$\Rightarrow a_0 = a^0, a_1 = -a^1, a_2 = -a^2, a_3 = -a^3$$

$$\vec{a} \cdot \vec{b} = g_{\mu\nu} a^\mu b^\nu = a_\nu b^\nu = a^\mu b_\mu \quad (31)$$

$$= g^{\alpha\beta} a_\alpha b_\beta$$

LT der kovarianten Vierervektorkomponenten
kontravariante Komponenten:

$$a^\mu = \Lambda^\mu_\alpha a^\alpha$$

$$(\Lambda^\mu_\alpha) \equiv \Lambda \quad (\text{Matrix})$$

Inneres Produkt von Vierervektoren

$$\vec{a} \cdot \vec{b} = a^\mu b^\nu \vec{e}_\mu \cdot \vec{e}_\nu = g_{\mu\nu} a^\mu b^\nu \quad (22)$$

L-Invariante (bzw. Viereskalarfeld
falls \vec{a}, \vec{b} Vierervektorfelder)

Duale (reziproke) Basissysteme

Definition: kontravariantes Basissystem

$$\{\vec{e}^0, \vec{e}^1, \vec{e}^2, \vec{e}^3\} \text{ bzgl. S:}$$

$$\vec{e}_\mu \cdot \vec{e}^\alpha = \delta_\mu^\alpha \quad (26)$$

(definiert die \vec{e}^α)
Kroneckerdeltas

Mit $\vec{e}^\alpha = g^{\alpha\nu} \vec{e}_\nu$ (definiert die $g^{\alpha\nu}$)

$$(28)$$

folgt

$$\vec{e}_\mu \cdot \vec{e}^\alpha = g^{\alpha\nu} g_{\mu\nu} = \delta_\mu^\alpha \quad \text{Matrix}$$

$$\Rightarrow (g^{\mu\nu}) = (g_{\mu\nu}) = \text{diag}(1, -1, -1, -1) \equiv g$$

$g^{\mu\nu}$ (kontravariante Komponenten des Metritensors
s. später)

$\{\vec{e}_0, \vec{e}_1, \vec{e}_2, \vec{e}_3\}$ und $\{\vec{e}^0, \vec{e}^1, \vec{e}^2, \vec{e}^3\}$
nennt man zueinander dual (reziprok)

kovariante Komponenten:

$$a'_\alpha = \underbrace{g'_{\alpha\mu}}_{g_{\alpha\mu}} a'^\mu = g_{\alpha\mu} \underbrace{\Lambda^\mu_\sigma a^\sigma}_{g^{\sigma r} a_r} = g_{\alpha\mu} \Lambda^\mu_\sigma g^{\sigma r} a_r$$

$$\Lambda'^\mu_\alpha = \Lambda^\mu_\alpha a^\alpha$$

$$a'_\mu = \Lambda_\mu^\alpha a_\alpha$$

Zeilenindex bei Matrix = Schreibweise; $(\Lambda_\alpha^\nu) \equiv \Sigma$

bezeichnet (Matrix)

mit $\Lambda^\nu_\alpha = g_{\alpha\mu} \Lambda^\mu_\sigma g^{\sigma r} \leftrightarrow \Sigma = g \Lambda g$ (Matrizenmultiplikation)

Speziell: Standard-LT

$$\left({}^{st} \Lambda^\mu_\alpha \right) = \begin{pmatrix} \gamma & -\beta\gamma & 0 & 0 \\ -\beta\gamma & \gamma & 0 & 0 \\ 0 & 0 & 1 & 0 \\ 0 & 0 & 0 & 1 \end{pmatrix} \equiv {}^{st} \Lambda$$

$$\left({}^{st} \Lambda_\mu^\alpha \right) = \begin{pmatrix} \gamma & \beta\gamma & 0 & 0 \\ \beta\gamma & \gamma & 0 & 0 \\ 0 & 0 & 1 & 0 \\ 0 & 0 & 0 & 1 \end{pmatrix} \equiv {}^{st} \Sigma$$

Allgemein: $\Sigma^T = \Lambda^{-1}$. Zeige dies mit Hilfe von

$a_\alpha b^\alpha = a'_\mu a'^\mu$ und den Transformationsgesetzen für a'_μ und a'^μ selbst! ●

Vierertensoren 2. Stufe

$\vec{a} \circ \vec{b}$ Prototyp für Vierertensor 2. Stufe

$$\vec{a} \circ \vec{b} = a^\mu b^\nu \vec{e}_\mu \circ \vec{e}_\nu = a^\mu b_\beta \vec{e}^\mu \circ \vec{e}^\beta$$

$$= a_\alpha b^\nu \vec{e}^\alpha \circ \vec{e}_\nu = a_\alpha b_\beta \vec{e}^\alpha \circ \vec{e}^\beta$$

$$\vec{t} = t^{\mu\nu} \vec{e}_\mu \circ \vec{e}_\nu = t^\mu_\beta \vec{e}^\mu \circ \vec{e}^\beta$$

$$= t_\alpha^\nu \vec{e}^\alpha \circ \vec{e}_\nu = t_{\alpha\beta} \vec{e}^\alpha \circ \vec{e}^\beta$$

$(t^{\mu\nu})$ kontravariante

$(t^\mu_\beta), (t_\alpha^\nu)$ gemischte

$(t_{\alpha\beta})$ kovariante

Komponenten von \vec{t} bzgl. S

$$t^\mu_\beta = g_{\beta\nu} t^{\mu\nu} \quad t^{\mu\nu} = g^{\nu\beta} t^\mu_\beta$$

$$t_{\alpha\beta} = g_{\alpha\mu} g_{\nu\beta} t^{\mu\nu} \quad \text{usf.}$$

LT

$$t'^{\mu\nu} = \Lambda^\mu_\alpha \Lambda^\nu_\beta t^{\alpha\beta}$$

$$t'^\mu_\nu = \Lambda^\mu_\alpha \Lambda_\nu^\beta t^\alpha_\beta \quad t'^\nu_\mu \text{ analog}$$

$$t'_{\mu\nu} = \Lambda_\mu^\alpha \Lambda_\nu^\beta t_{\alpha\beta}$$

Bei Feldern: Argumente!

VII. 2. D. Eigenzeit, Vierergeschwindigkeit und Vierbeschleunigung eines Teilchens

$$ds^2 = g_{\mu\nu} dx^\mu dx^\nu = d\vec{x} \cdot d\vec{x} = L\text{-Invariante}$$

für beliebige raum-zeitlich infinitesimal benachbarte Ereignisse:

$$ds^2 \geq 0 \quad (\text{zeitartiger, lichtartiger, raumartiger Abstand})$$

Speziell: Ereignisse (beschrieben in S):

bewegtes Teilchen ist zum Zeitpunkt t am Ort $x(t), y(t), z(t)$ und ist zum Zeitpunkt $t + dt$ am Ort $x(t) + u_x(t)dt, y(t) + u_y(t)dt, z(t) + u_z(t)dt$ betrachtet, mit

$$\begin{aligned} \vec{u}(t) &= (u_x(t), u_y(t), u_z(t)) \\ &= \left(\frac{dx(t)}{dt}, \frac{dy(t)}{dt}, \frac{dz(t)}{dt} \right) \end{aligned} \quad (37)$$

$\vec{u}(t)$ Teilchengeschwindigkeit
= "Dreiergeschwindigkeit"

Metrikentensor

$$\begin{aligned} \vec{a} &= a_\alpha \vec{e}^\alpha = a'_\mu \vec{e}'^\mu \\ a'_\mu &= \Lambda^\alpha_\mu a_\alpha \end{aligned} \quad \Rightarrow \left. \begin{array}{l} \text{Transformation} \\ \text{der kontrav.} \\ \text{Basis} \end{array} \right\}$$

\Rightarrow Transformation von $g^{\alpha\beta} = \vec{e}^\alpha \cdot \vec{e}^\beta$ und Berücksichtigung von $\Sigma^T = \Lambda^{-1}$ gibt

$$g'^{\mu\nu} = \Lambda^\mu_\alpha \Lambda^\nu_\beta g^{\alpha\beta} \quad \text{Tensor}$$

$$\begin{aligned} g'^{\mu\nu} &= g_{\beta\gamma} g'^{\mu\beta} g'^{\gamma\nu} = \delta^\mu_\beta \\ g'_{\alpha\nu} &= g_{\alpha\mu} g'^{\mu\nu} = \delta^\nu_\alpha \end{aligned} \quad \left. \begin{array}{l} g'^{\mu\nu} = g^{\mu\nu} \\ g'_{\alpha\nu} = g_{\alpha\nu} \end{array} \right\} \Rightarrow g'^{\mu\nu} \text{ geschrieben}$$

$$\begin{aligned} (g'^{\mu\nu}) &= (g'^{\mu\nu}) = (g_{\mu\nu}) = (g'_{\mu\nu}) \\ &= \text{diag}(1, -1, -1, -1) \\ (g'^{\mu\nu}) &= (g'^{\mu\nu}) = \text{diag}(1, 1, 1, 1) \end{aligned} \quad (29)$$

Dann gilt:

$$ds^2 = c^2 dt^2 - dx^2 - dy^2 - dz^2 = c^2 dt^2 \left(1 - \frac{v^2(t)}{c^2}\right) > 0, \forall t$$

Definition 1: Eigenzeit "des Teilchens"

Eigenzeitdifferential:

$$d\tau = \frac{ds}{c} = \sqrt{1 - \frac{v^2(t)}{c^2}} dt \quad (37)$$

$$= \sqrt{1 - \frac{v^2(t)}{c^2}} dt' = L\text{-Invariante}$$

Eigenzeit "des Teilchens" = Eigenzeit einer mit dem Teilchen mitgeführten Standarduhr (beschleunigungsunempfindlichen Uhr)

Bemerkung: \tilde{S}_t momentanes inertiales Ruh-System des Teilchens (der mitgeführten Standarduhr): $\tilde{\omega}(\tilde{t}) = 0$ ($\tilde{\alpha}(\tilde{t})$ i.a. $\neq 0$)

$$d\tau = d\tilde{t}$$

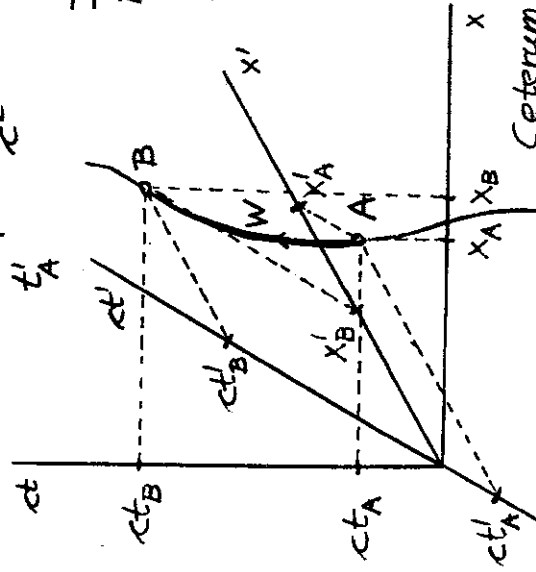
Eigenzeitintervall zwischen zwei Ereignissen A, B längs eines gegebenen Weltlinien =

Stücker W

$$\Delta\tau_{AB}^W = \int_A^B d\tau = \int_{t_A}^{t_B} \sqrt{1 - \frac{v^2(t)}{c^2}} dt \leq t_B - t_A$$

Zeitdilatation für ... beliebig bewegte Uhren (36)

$$t'_B - t'_A = \int_{t'_A}^{t'_B} \sqrt{1 - \frac{v^2(t')}{c^2}} dt' \leq t'_B - t'_A$$



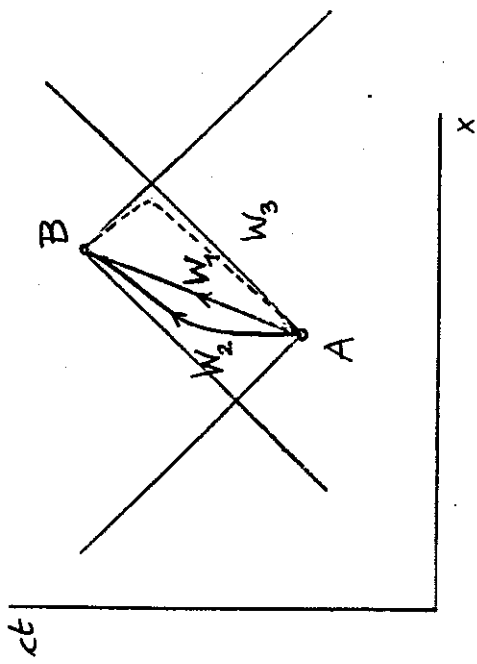
Im Diagramm illustriert für geradlinige Bewegung in x -(x' -) Richtung und Systeme in Standardconf.

Zwei Ablesungen der "betrachteten" Uhr verglichen mit (i.a.) zwei Uhren von S , zwei Uhren von S' ...

Ceterum censeo: "Bewegte Uhren gehen nach..."

Hier auch für beschleunigt bewegte Uhren gezeigt.

VII-44"
Zeitdilatation zwischen zwei Uhren,
 die sich trennen und wieder zusammenkommen
 "Zwillingsproblem"



$$\Delta \tau_{AB}^{W_3} < \Delta \tau_{AB}^{W_2} < \Delta \tau_{AB}^{W_1}$$

↓
0

Experimentell vielfach
verifiziert! *)

Bemerkung: Für Photonen gibt es keine Eigenzeit:
 $ds^2 = 0$.

*) s.z.B. "Maryland-Experiment"
 Ergänzungsblätter zum VO-Skriptum Blatt VII-12'

Definition 2: Vierergeschwindigkeit
 des Teilchens

Verwendung der L-invarianten Eigenzeit des Teilchens als Bahnparameter ($\tau \leftrightarrow t, \tau \leftrightarrow t', \dots$)

$$\vec{u}(\tau) := \frac{d\vec{x}(\tau)}{d\tau} \quad (38)$$

kontravariante Komponenten bzgl. S

$$u^\nu = \frac{dx^\nu}{d\tau} = \frac{dx^\nu}{dt} \frac{dt}{d\tau} = \gamma(u(t)) = \frac{1}{\sqrt{1 - \frac{u^2(t)}{c^2}}} = \gamma(u(t))$$

- $\nu=0: c$
- $\nu=1: u_x$
- \vdots

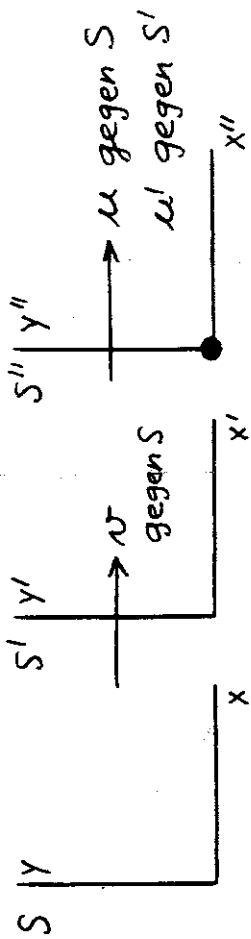
$$(u^\nu) = (u^0, u^1, u^2, u^3) = \gamma(u(t)) (c, u_x(t), u_y(t), u_z(t)) \quad (39)$$

$$\equiv \gamma(u(t)) (c, \vec{u}(t))$$

Bemerkung: u^0 enthält nur redundante Information!

VII.3. LT der Teilchengeschwindigkeit
 ("relativistische Addition" von Geschwindigkeiten)

VII.3.A. Ableitung für gleichgerichtete konstante Geschwindigkeiten aus Gruppeneigenschaft der Standard-LT



Galilei: $u = u' + v$ u muss zeitlich konstant sein!
Standard-LT der Zeit-Orts-Koordinaten: $\Lambda \equiv \Lambda_{st}$

$$X''^\mu = \Lambda^\mu_\alpha(u') X'^\alpha = \Lambda^\mu_\alpha(u') \Lambda^\alpha_\nu(v) X^\nu$$

$$= \Lambda^\mu_\nu(u) X^\nu, \quad \forall X^0, X^1, X^2, X^3 \Rightarrow$$

$$\Lambda^\mu_\alpha(u') \Lambda^\alpha_\nu(v) = \Lambda^\mu_\nu(u) \quad (42)$$

S: $(u^\nu) = f(u) (c, \vec{u})$
 $(u_\nu) = f(u) (c, -\vec{u})$

$\vec{u}(\tau) \cdot \vec{u}(\tau) = u^\nu u_\nu = \vec{u}^\nu \vec{u}_\nu = c^2 > 0, \quad \forall \tau$
 $\vec{u}(\tau)$ "zeitartig"

Definition 3: Vierbeschleunigung des Teilchens

$$\vec{a}(\tau) := \frac{d\vec{u}(\tau)}{d\tau} = \frac{d^2 \vec{x}(\tau)}{d\tau^2} \quad (40)$$

kontravariante Komponenten bzgl. S

$a^\nu = \frac{du^\nu}{d\tau} = \dots$ (selbst berechnen)

$(a^\nu) = f^2(u) \left(f^2(u) \frac{\vec{u} \cdot \vec{a}}{c}, \vec{a} + f^2(u) \frac{(\vec{u} \cdot \vec{a}) \vec{u}}{c^2} \right)$

$(\vec{a}^\nu) = (0, \vec{a}), \quad (\vec{a}_\nu) = (0, -\vec{a})$

$\vec{a}(\tau) \cdot \vec{a}(\tau) = a^\nu a_\nu = \vec{a}^\nu \vec{a}_\nu = -\vec{a}^2 < 0$

$\vec{a}(\tau)$ "raumartig"

Es gilt:

$\vec{a}(\tau) \cdot \vec{u}(\tau) = a^\nu u_\nu = \vec{a}^\nu \vec{u}_\nu = 0, \quad \forall \tau \quad (41)$

Brauchen wir später...

$$\begin{aligned}
 & \left[\begin{array}{cc|cc} f(u') & -\beta(u') \gamma(u') & 0 & 0 \\ -\beta(u') \gamma(u') & \gamma(u') & 0 & 0 \\ \hline 0 & 0 & 1 & 0 \\ 0 & 0 & 0 & 1 \end{array} \right] \\
 & \left[\begin{array}{cc|cc} f(v) & -\beta(v) \gamma(v) & 0 & 0 \\ -\beta(v) \gamma(v) & \gamma(v) & 0 & 0 \\ \hline 0 & 0 & 1 & 0 \\ 0 & 0 & 0 & 1 \end{array} \right] \\
 & = \left[\begin{array}{cc|cc} f(u) & -\beta(u) \gamma(u) & 0 & 0 \\ -\beta(u) \gamma(u) & \gamma(u) & 0 & 0 \\ \hline 0 & 0 & 1 & 0 \\ 0 & 0 & 0 & 1 \end{array} \right]
 \end{aligned}$$

∴ s. Skriptum → Einstein: $u' \oplus v = \frac{u' + v}{1 + \frac{v u'}{c^2}}$

$$u = \frac{u' + v}{1 + \frac{v u'}{c^2}}, \quad u' = \frac{u - v}{1 - \frac{v u}{c^2}} \tag{44}$$

"Reziprozität"

v fest ($< c$)

$$u' \uparrow c \iff u \uparrow c$$

Bemerkung: Transformation $u \rightarrow u'$
 ("Dreiergeschwindigkeit") nicht linear,
 Transformation $(u^v) \rightarrow (u^v)$ linear!

VII.3.B*. Transformation der Teilchen=geschwindigkeit bei beliebiger Teilchenbewegung für Systeme in Standardkonfiguration mit Hilfe der Vierergeschwindigkeit

Standard-LT der Vierergeschwindigkeit

$$u'^{\mu} = \Lambda^{\mu}_{\alpha} u^{\alpha} \quad \text{mit} \quad \Lambda \equiv \Lambda^{st}$$

mit $(u'^{\mu}) = \gamma(u) (\dot{x}, \dot{\vec{x}})$ } Hier kann $\dot{\vec{x}}(t), \dot{\vec{x}}'(t)$ sein!
 $(u'^{\mu}) = \gamma(u') (\dot{x}, \dot{\vec{x}}')$

$$\begin{aligned}
 u'^0 &= \gamma(v) (u^0 - \frac{v}{c} u^1) & 0 \\
 u'^1 &= \gamma(v) (u^1 - \frac{v}{c} u^0) & 1 \\
 u'^2 &= u^2 & \text{lineare} \\
 u'^3 &= u^3 & \text{Transformation} \\
 & & \underline{2} \\
 & & \underline{3}
 \end{aligned}$$

$$0: \quad \gamma(u') \dot{x} = \gamma(v) \gamma(u) (\dot{x} - \frac{v}{c} u_x)$$

$\gamma(u') = \gamma(v) \gamma(u) \left(1 - \frac{v u_x}{c^2}\right)$
$\gamma(u) = \gamma(v) \gamma(u') \left(1 + \frac{v u'_x}{c^2}\right)$

"Reziprozität" (49)

VII. 4. Sichtbarkeit der Längenkontraktion?Längenkontraktion in BewegungsrichtungBeispiel 1: Ruhssystem: Objekt ist Kugel
vom Radius R_0 Bezugssystem, in dem sich das Objektmit v bewegt: Objekt ist Rotations-
ellipsoid mit Halbachsen $\frac{R_0}{\gamma(v)}$, R_0 , R_0 Beispiel 2: Ruhssystem: Objekt ist Würfel
mit Kantenlänge a_0 .Bezugssystem, in dem sich das Objektparallel zu Kante mit v bewegt:Objekt ist Quader mit Kantenlängen

$$\frac{a_0}{\gamma(v)}, a_0, a_0$$

OBJEKT IST ... bezieht sich dabei auf die
entsprechende MESSVORSCHRIFT FÜRLÄNGEN: Lineardimension eines Objekts
in S in einer Raumrichtung = räumlicher
Abstand von Objektanfang undObjektende (in dieser Richtung) gleichzeitig
in S (Koordinatenabstände auf "world map"
von S)

$$(u^{\mu'}) = f(u^{\mu}) (c, \vec{u}), \quad (u^{\mu'}) = f(u^{\mu}) (c, \vec{u}')$$

$$f(u^{\mu'}) = f(v) f(u) \left(1 - \frac{v u_x}{c^2}\right)$$

$$u^{\mu'} = f(v) (u^{\mu} - \frac{v}{c} u^0) \quad 1$$

$$1: \quad f(u^{\mu'}) u_x^{\mu'} = f(v) f(u) (u_x - v)$$

$$u_x^{\mu'} = \frac{u_x - v}{1 - \frac{v u_x}{c^2}}$$

$$u^{\mu'^2} = u^{\mu^2} \quad 2$$

$$2: \quad f(u^{\mu'}) u_y^{\mu'} = f(u) u_y$$

$$u_y^{\mu'} = \frac{u_y}{f(v) \left(1 - \frac{v u_x}{c^2}\right)}, \quad u_z^{\mu'} \text{ analog}$$

$$\vec{u}(t), \quad \vec{u}'(t')$$

$$u_x^{\mu'} = \frac{u_x - v}{1 - \frac{v u_x}{c^2}}, \quad u_x = \frac{u_x' + v}{1 + \frac{v u_x'}{c^2}}$$

$$u_y^{\mu'} = \frac{u_y}{f(v) \left(1 - \frac{v u_x}{c^2}\right)}, \quad u_y = \frac{u_y'}{f(v) \left(1 + \frac{v u_x'}{c^2}\right)}$$

$$u_z^{\mu'} = \frac{u_z}{f(v) \left(1 - \frac{v u_x}{c^2}\right)}, \quad u_z = \frac{u_z'}{f(v) \left(1 + \frac{v u_x'}{c^2}\right)}$$

Was "sieht" man in den beiden Beispielen mit freiem Auge oder auf einer Fotografie?

Beispiel 1: Penrose 1959 (s. Abschnitt IX.4.C)

Man "sieht" - unabhängig von der Größe der Geschwindigkeit und der Größe der Entfernung zum Objekt einen kreisförmigen Umriss.

"Längenkontraktion" nicht sichtbar

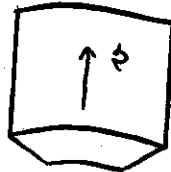
Beispiel 2: Terrell 1959 (s. Folien VII-52', VII-52'')

Befindet sich das Objekt in so großer Entfernung vom Auge bzw. vom Objektiv, daß man die vom Objekt kommenden Lichtstrahlen als parallel ansehen kann, so "sieht" man einen gedrehten Würfel.

"Längenkontraktion" nicht sichtbar

Ist diese Bedingung nicht erfüllt, "sieht" man einen gedrehten, verzerrten und kontrahierten "Würfel"

"Längenkontraktion" sichtbar, aber nicht in dem naiven Sinn w.o.



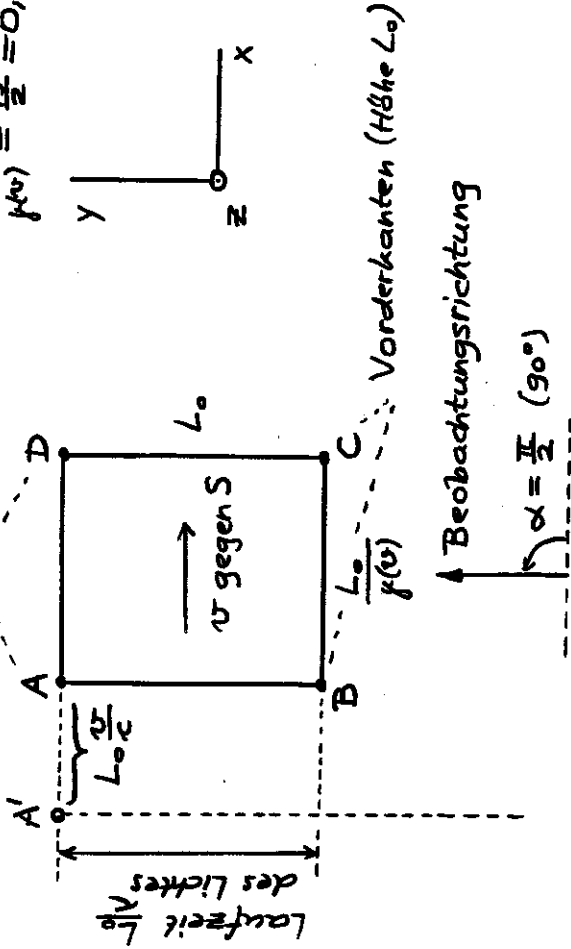
GRUND: Summenseffekt von Längenkontraktion und Retardierung: Photonen, die gleichzeitig im Auge (beim Objektiv) einlangen, stammen von verschiedenen Lagen des Objekts

(Retardierungen auf "world picture" = "Weltbild")

Würfel in großer Entfernung (Parallelstrahlen)

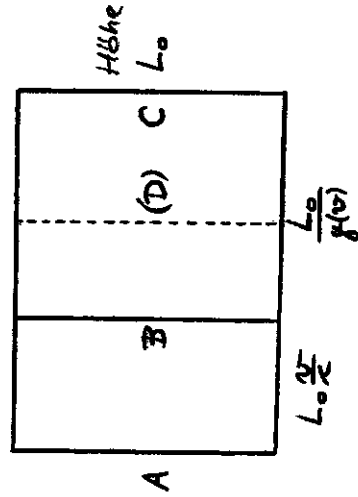
S' Ruhssystem des Würfels; Abb. für $v = 0,5c$

⑤ hintere Kanten (Höhe L_0) $\Rightarrow f(v) = \frac{2}{\gamma^3} = 1,154$
 $\frac{1}{f(v)} = \frac{\sqrt{3}}{2} = 0,866$



Kante A wird wegen Retardierung in Lage A' "gesehen" (fotografiert)!

Deher sieht die fotografische Aufnahme so aus:



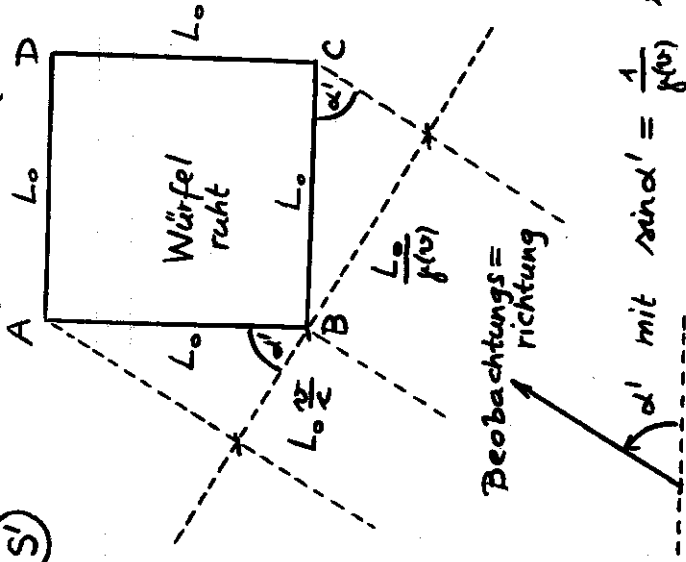
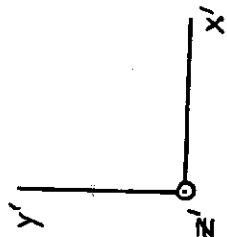
A... Kante A auf Aufnahme

Das ist aber das gleiche Bild, wie wenn man den Würfel in seinem Ruhssystem aus einer "gedrehten" Richtung fotografiert!

Bild eines "gedrehten" Würfels!

Beweis: Kanten (Höhe L_0)

(S')



α' mit $\sin \alpha' = \frac{1}{\gamma(v)}$, $\cos \alpha' = \frac{v}{c}$

$(\sin^2 \alpha' + \cos^2 \alpha' = 1 \checkmark)$

Für $\frac{v}{c} = 0.5$ gilt $\alpha' = \frac{\pi}{3}$ (60°)

Bemerkung: Für ein beliebiges Objekt in großer Entfernung (Parallelstrahlen) gilt eine qualitativ gleiche Aussage (z.B. Kugel).

Ferner: Für ein solches Objekt gilt

Längenkontraktion + Retardierung = Aberration

Die Aberrationsformeln (IX.68) (s. Folie IX-35) liefern mit $\alpha = \frac{\pi}{2}$ unmittelbar $\sin \alpha' = \frac{1}{\gamma}$, $\cos \alpha' = \beta$.

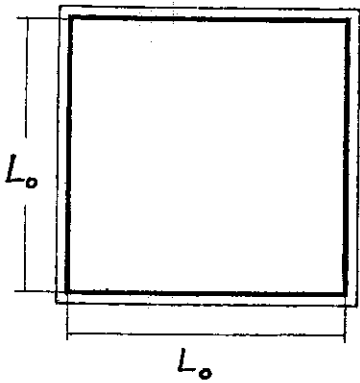


Abb. 5a: Würfel in Ruhe (Zentralprojektion)

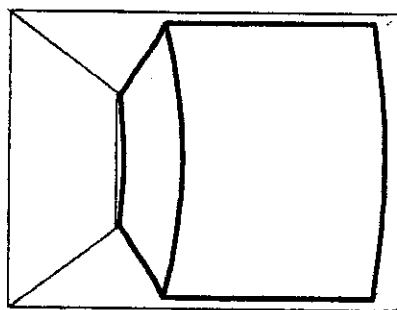


Abb. 5b: Würfel mit $v=0.5c$ aus geringer Entfernung (Zentralprojektion)

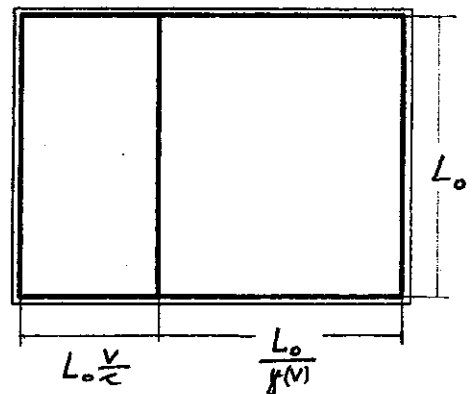


Abb. 5c: Würfel mit $v=0.5c$ aus großer Entfernung (Parallelprojektion)

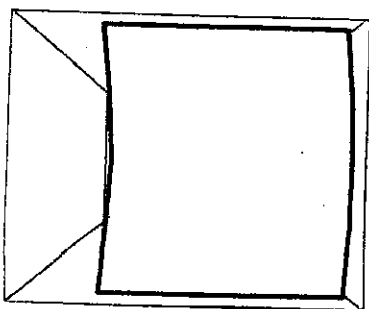


Abb. 7a: $v=0.3c$

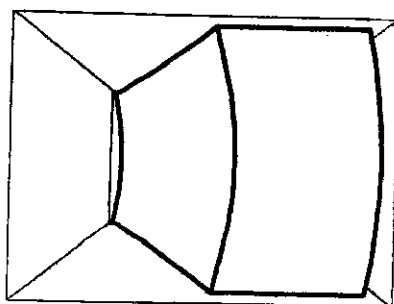


Abb. 7b: $v=0.7c$

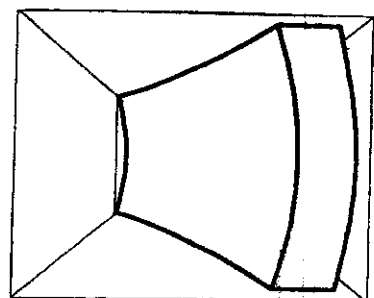


Abb. 7c: $v=0.95c$

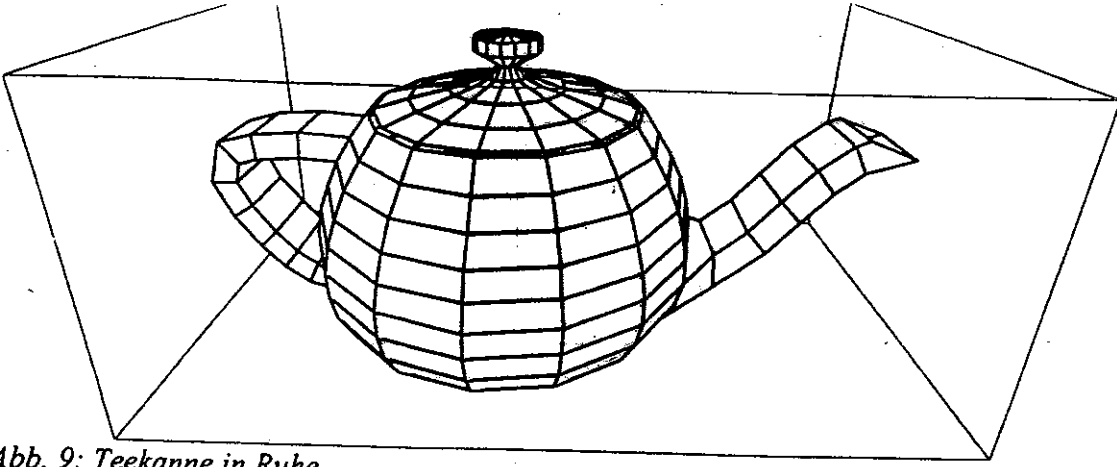
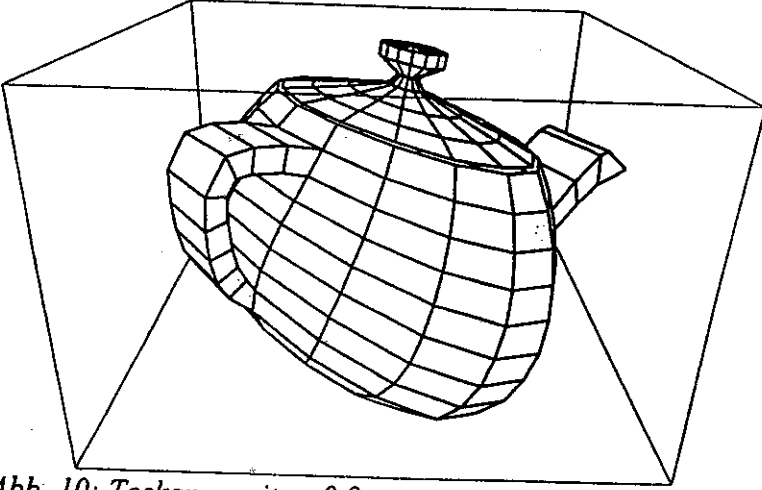


Abb. 9: Teekanne in Ruhe

Abb. 10: Teekanne mit $v=0.8c$

VII. 4. A. "Superschnappschüsse"

Spezielle "idealisierte" (sehr unrealistische)
Art von Fotografien.

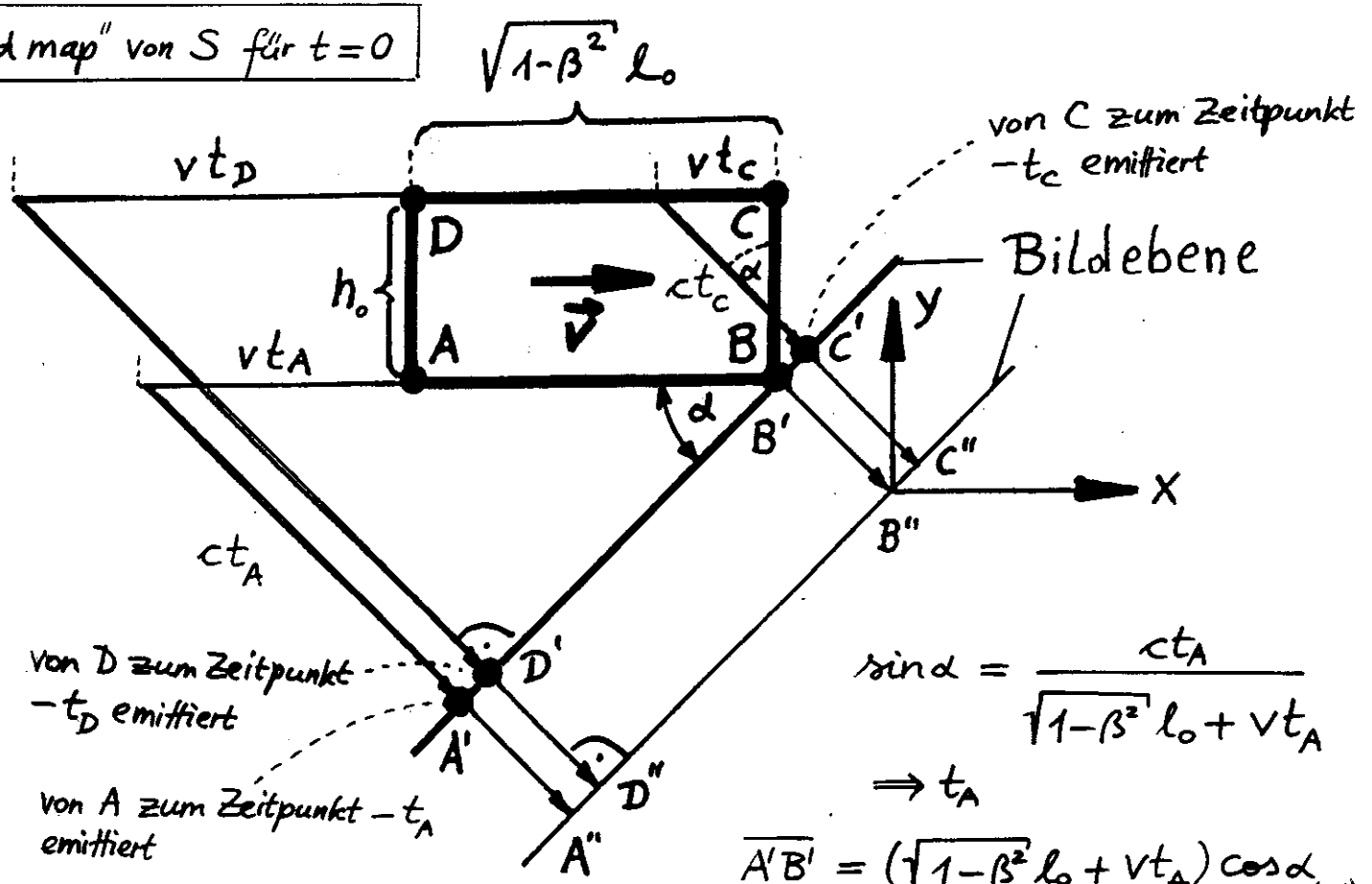
Definition: "Superschnappschuß"

Von Oberflächenpunkten des Objektes
emittierte Photonen bewegen sich
(Voraussetzungsgemäß) auf parallelen Bahnen
auf eine zu diesen Bahnen senkrecht
angeordnete Fotoplatte zu, treffen dort
gleichzeitig (bzgl. des Ruhesystems der
Fotoplatte) auf und erzeugen so ein
"lebensgroßes" Bild des Objekts.

Beispiel:

"Superschnappschuß" eines Rechteckes
(bzw. eines Rechteckquaders)

"World map" von S für $t=0$



von D zum Zeitpunkt $-t_D$ emittiert

von A zum Zeitpunkt $-t_A$ emittiert

$$\sin d = \frac{ct_A}{\sqrt{1-\beta^2} l_0 + vt_A}$$

$$\Rightarrow t_A$$

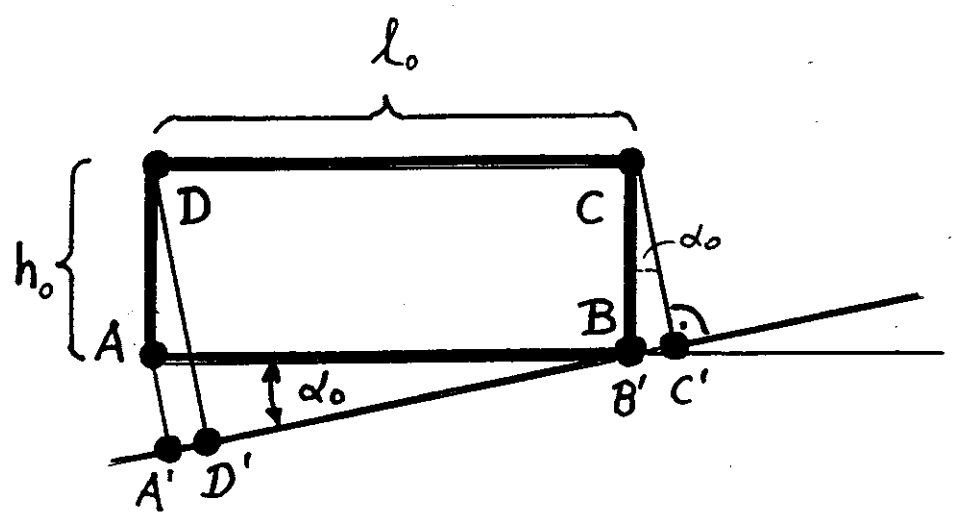
$$\overline{A'B'} = (\sqrt{1-\beta^2} l_0 + vt_A) \cos d \quad (51)$$

Superschnappschuß eines parallel zu seiner Längsrichtung bewegten Rechteckes

analog t_c , $\overline{B'C'}$ (s. Skriptum)

VII-57

"world map" von S_0 für irgendein vorgegebenes t_0



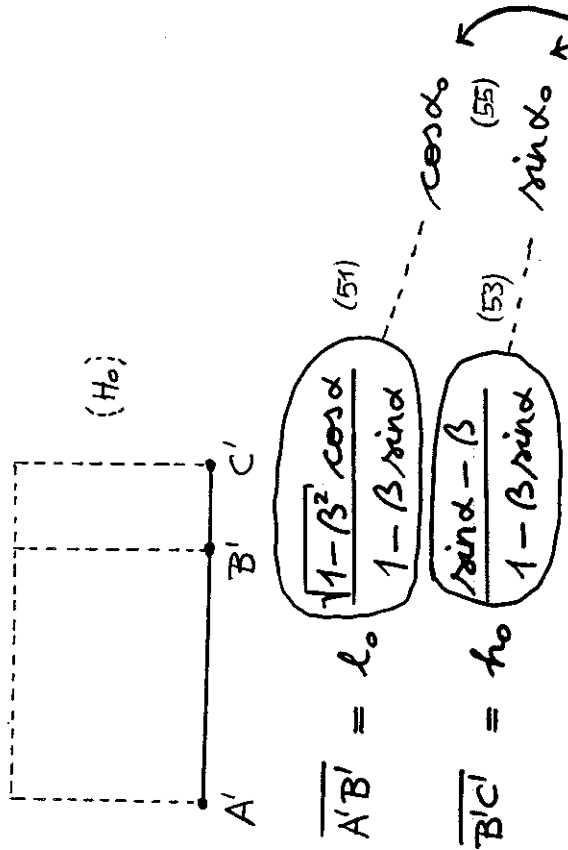
Superschnappschuß des ruhenden Rechteckes

$$\overline{A'B'} = l_0 \cos \alpha_0, \quad \overline{B'C'} = h_0 \sin \alpha_0 \quad (54)$$

VII-57

Ergebnisse:

bewegtes Rechteck (bewegter Quader)



Wie in Ruhssystem unter Winkel α_0 mit
($\sin^2 \alpha_0 + \cos^2 \alpha_0 = 1 \checkmark$)

Aberrationsformel Abschnitt IX.4.B !!

VIII.4.B. Satz von Terrell

Das (dauernde) Ruhssystem des betrachteten Objektes sei Inertialsystem.

Satz von Terrell:

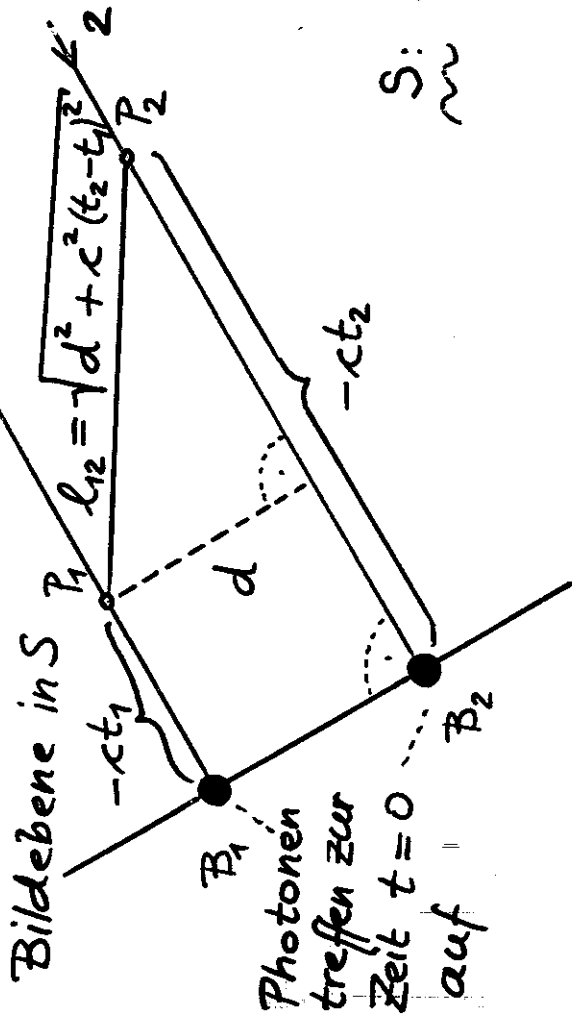
Alle "Superschnappschüsse" eines Objektes, die von einem relativ zum Objekt ruhenden und beliebigen zueinander und zum Objekt gleichförmig gerad- linig bewegten Fotografen am selben Ereignis \vec{x} gemacht werden, sind gleich.

Beachte: "Am selben Ereignis \vec{x} " heißt, daß die Fotografen im Augenblick, in dem sie ihre Aufnahme machen, raum- zeitlich koinzidieren.

Folge: Unsichtbarkeit der Längenkontraktion auf einem "Superschnappschuß" eines Fotografen, relativ zu dem sich das Objekt bewegt.

Beweis: Kurz und genial (V. Weisskopf).

Zeichnung für S:
 Bildebene in S (Photonenbahnen) in S



E_1, E_2 : zunächst (!) beliebige Ereignisse
auf den Weltlinien der Photonen
 1, 2 ("Photon 1 war hier", (*)
 "Photon 2 war hier")

S: $E_1: (ct_1, x_1, y_1, z_1)$, $E_2: (ct_2, x_2, y_2, z_2)$
 Ort P_1 Ort P_2
 $t_1 < 0$ $t_2 < 0$

L-invariantes raum-zeitl. Abstandsquadrat von E_1, E_2 :
 $S': E_1: (ct'_1, x'_1, y'_1, z'_1)$, $E_2: (ct'_2, x'_2, y'_2, z'_2)$

$$\Delta S^2 = c^2(t_2 - t_1)^2 - l_{12}^2 = -d^2 \quad \text{unabhängig von } t_2 - t_1 !$$

$$= c^2(t'_2 - t'_1)^2 - l_{12}'^2$$

Wählen wir in den beiden einparametrischen Scharen von Ereignissen ein Paar gleichzeitiger Ereignisse bzgl. S' ($t'_2 = t'_1$), so folgt für diese Ereignisse $l_{12}' = d$, wobei d auch der Normalabstand der Photonbahnen in S' sein muss ($d' = d$), da sonst nicht $\Delta S^2 = -d^2$, $\forall E_1, E_2$ (*) sein könnte!